

«Проблемы физики твердого тела и высоких давлений» - Сочи-2015

**Теоретическое описание
неравновесной динамики
фазовых переходов
в классических и квантовых
конденсированных системах**

Михаил Васин

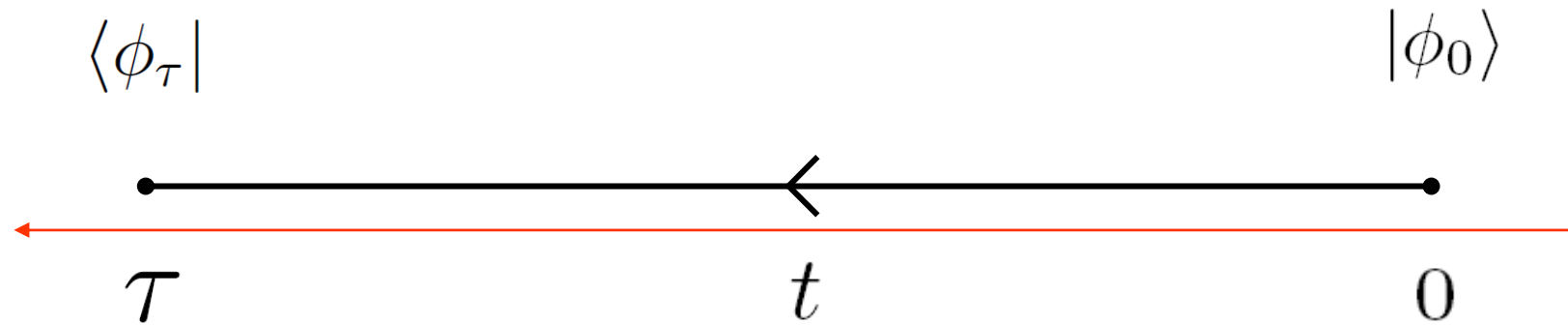
**ФТИ УрО РАН,
ИФВД РАН**

План:

- Келдышевская техника
- Квантово-классический кроссовер вблизи квантовой критической точки
- Описание перехода жидкость-стекло

Интеграл по траекториям

Интеграл по траекториям

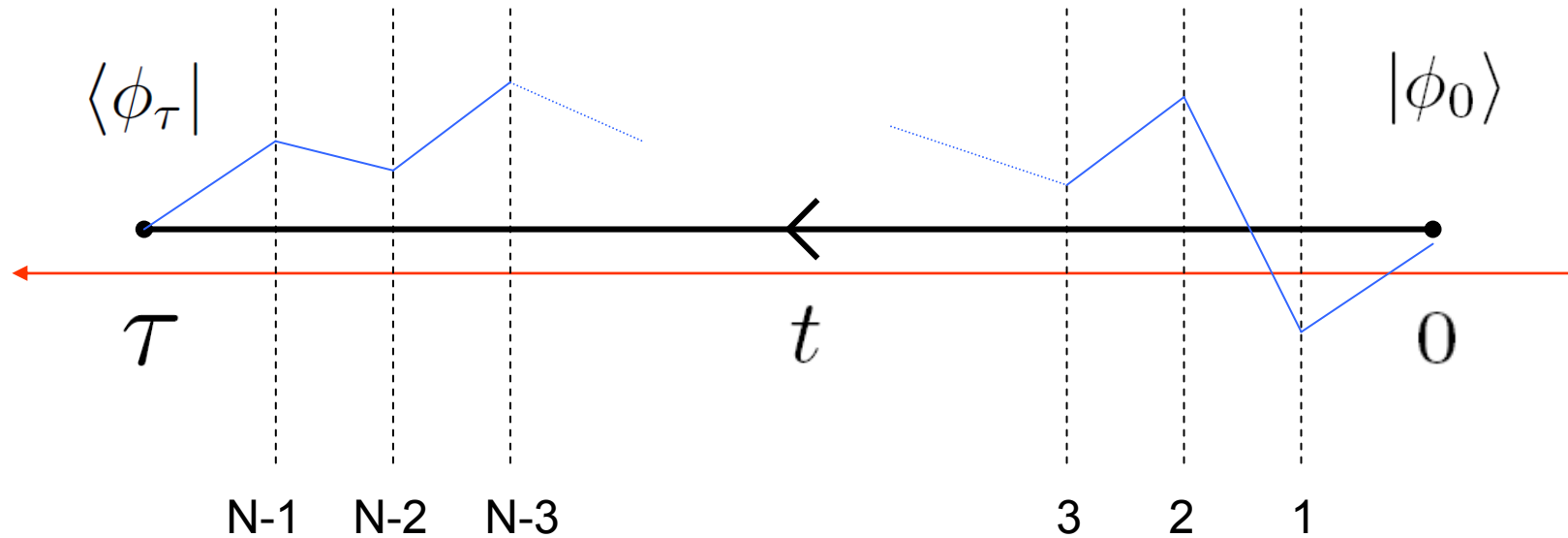


Положим, что $\langle\phi|\phi'\rangle = \delta(\phi - \phi')$

Амплитуда перехода из состояния $|\phi_0\rangle$ в состояние $\langle\phi_\tau|$.

$$\langle\phi_\tau|U|\phi_0\rangle = \langle\phi_\tau|e^{-\frac{i}{\hbar}H\tau}|\phi_0\rangle$$

Интеграл по траекториям



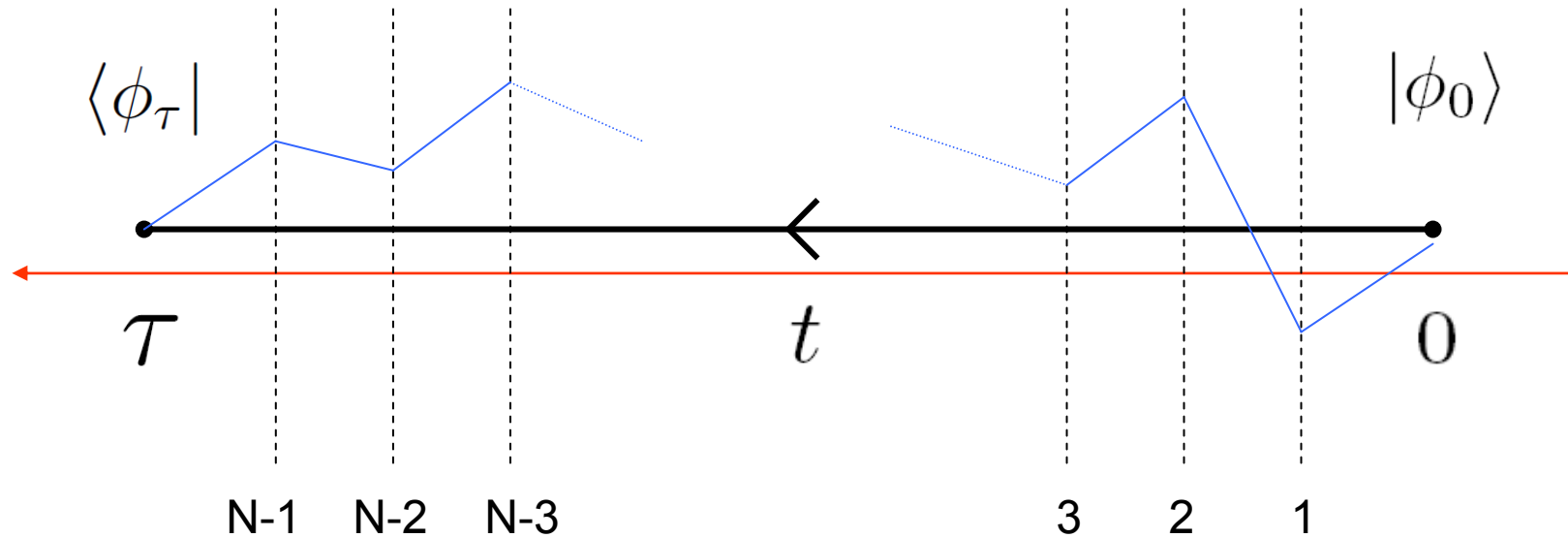
$$\langle \phi_\tau | U | \phi_0 \rangle =$$

$$= \iint \langle \phi_\tau | e^{-\frac{i}{\hbar} H_N (\tau - t_{N-1})} | \phi_{N-1} \rangle \langle \phi_{N-1} | e^{-\frac{i}{\hbar} H_{N-1} (t_{N-1} - t_{N-2})} | \phi_{N-2} \rangle \dots$$

$$\dots \langle \phi_2 | e^{-\frac{i}{\hbar} H_1 (t_2 - t_1)} | \phi_1 \rangle \langle \phi_1 | e^{-\frac{i}{\hbar} H_0 (t_1 - 0)} | \phi_0 \rangle \prod_{i=1}^{N-1} d\phi_i =$$

Келдышевская техника

Интеграл по траекториям



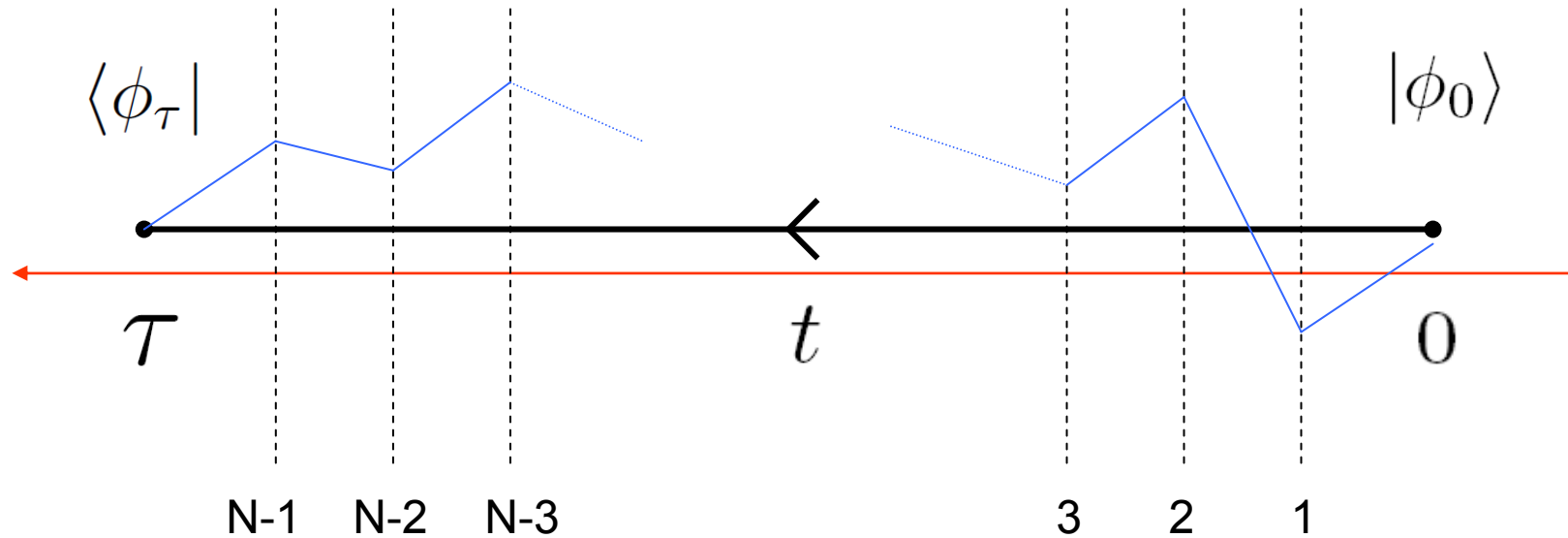
$$\langle \phi_\tau | U | \phi_0 \rangle =$$

$$= \iint \langle \phi_\tau | e^{-\frac{i}{\hbar} H_N (\tau - t_{N-1})} e^{-\frac{i}{\hbar} H_{N-1} (t_{N-1} - t_{N-2})} \dots$$

$$\dots e^{-\frac{i}{\hbar} H_2 (t_2 - t_1)} e^{-\frac{i}{\hbar} H_1 (t_1 - 0)} | \phi_0 \rangle \prod_{i=1}^{N-1} d\phi_i =$$

Келдышевская техника

Интеграл по траекториям



$$(\tau - t_{N-1}) = (t_{N-1} - t_{N-2}) = \dots = (t_2 - t_1) = (t_1 - 0) = \Delta t \rightarrow dt$$

$$\langle \phi_\tau | U | \phi_0 \rangle = \iint \langle \phi_\tau | e^{-\frac{i}{\hbar} H_\tau \Delta t - \frac{i}{\hbar} \int_0^\tau H(t) dt} | \phi_0 \rangle \mathcal{D}\phi$$

$$\prod_{i=1}^{N-1} d\phi_i$$

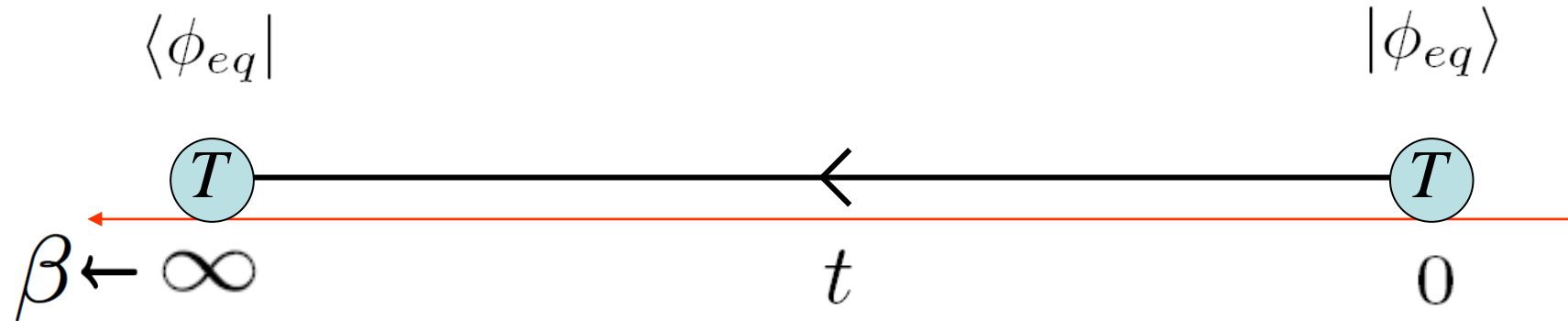
Келдышевская техника

Статистическая физика

**Аналогия между классической
статистической механикой и квантовой
механикой:**

***В квантовом случае обратная
температура играет роль мнимого
времени.***

Описание равновесной системы



$$\langle \phi_{eq} | \tilde{U} | \phi_{eq} \rangle = \text{const}$$

$$1 = \langle \phi_{eq} | \tilde{U} | \phi_{eq} \rangle = N \int \mathfrak{D}\phi \exp \left[i \int_0^\infty \phi G^{-1} \phi d\tau \right] =$$

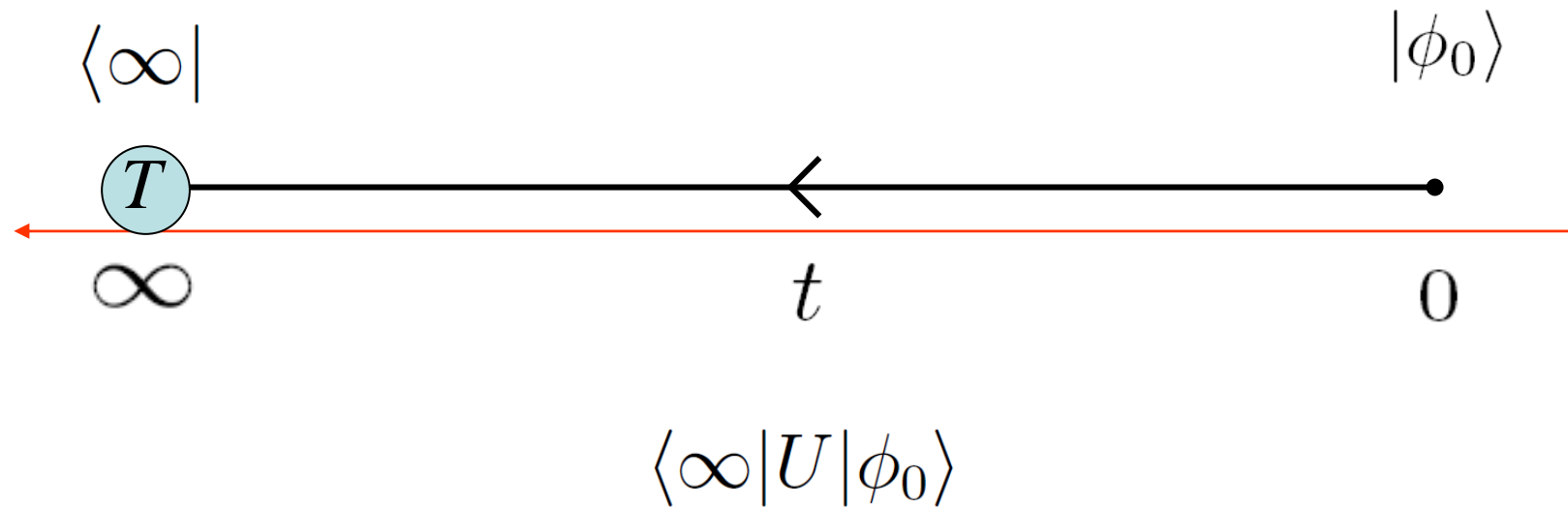
$$= N \int \mathfrak{D}\phi \exp \left[- \int_0^\beta \phi G^{-1} \phi dt \right] \rightarrow N \int \mathfrak{D}\phi \exp [-\beta H(\phi)]$$

$$\tau = it$$

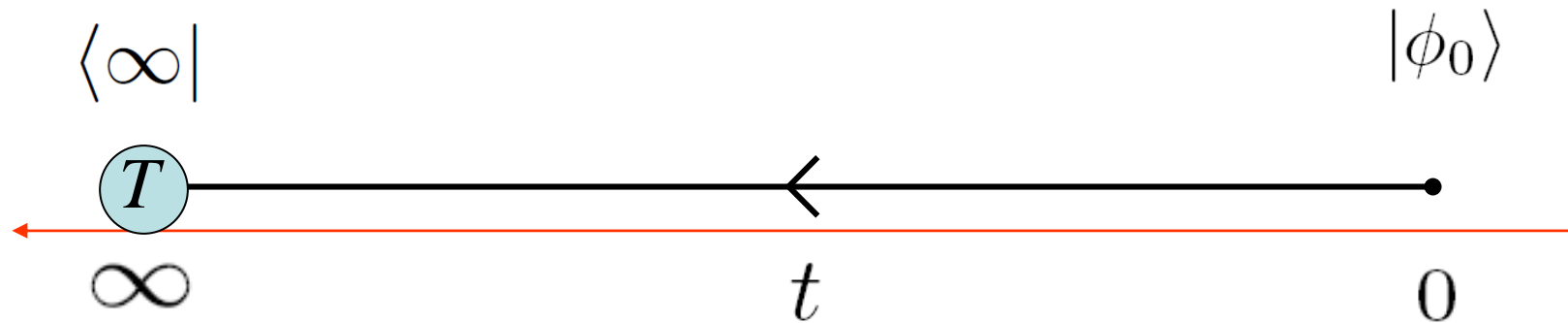
статика

Неравновесная статистическая механика

Описание неравновесной бозе-системы



Описание неравновесной бозе-системы



$$\langle \infty | U | \phi_0 \rangle$$

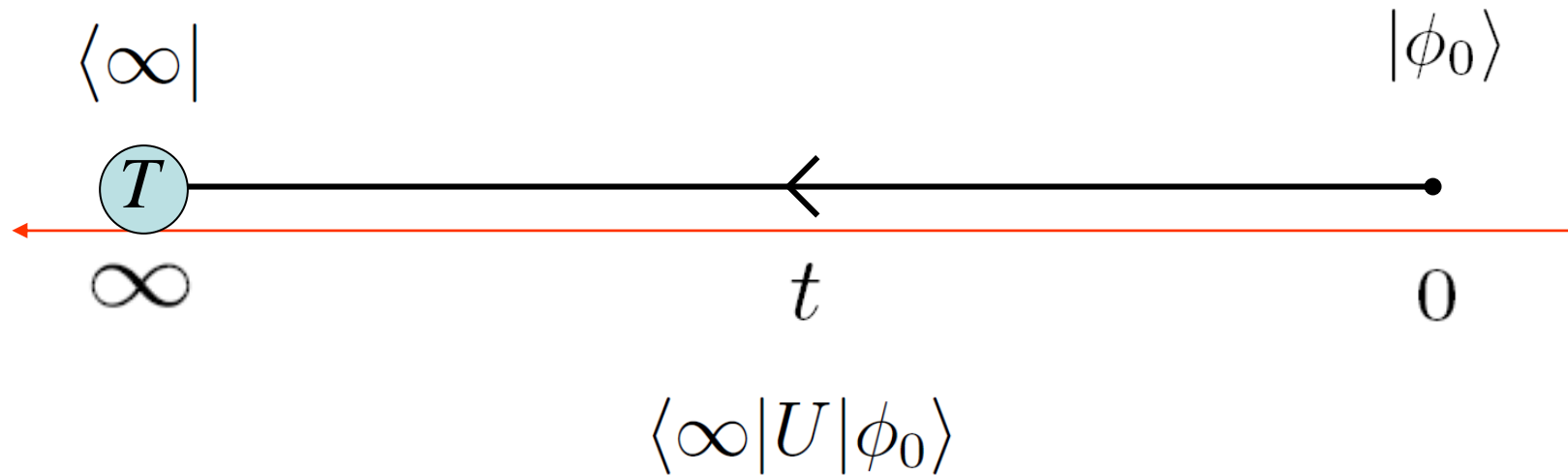
$$U = e^{-\frac{i}{\hbar} \int (\gamma \phi E \phi + \phi G^{-1} \phi) d\omega}$$

$$G^{-1} = \varepsilon - i\gamma\omega$$

Система представляет собой ансамбль квантовых гармонических осцилляторов, взаимодействующей с тепловым резервуаром

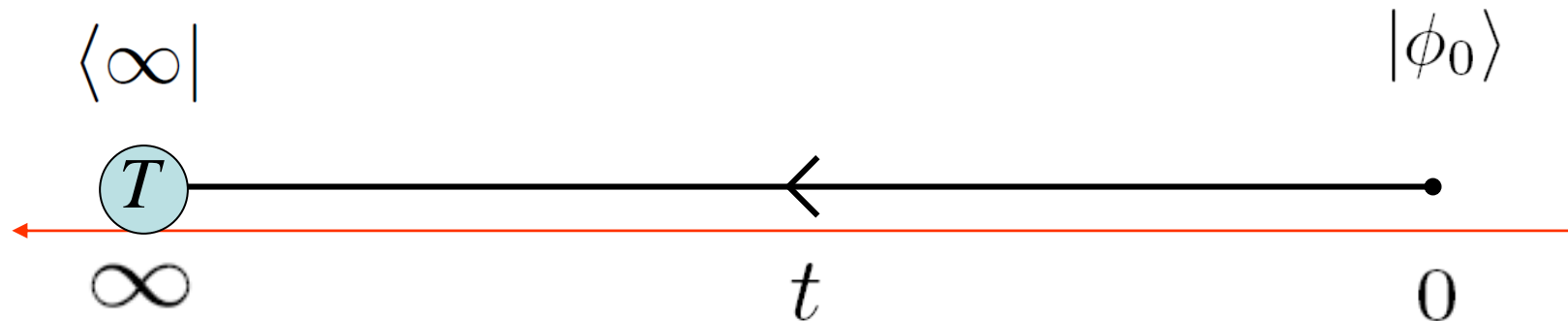
$$E = \hbar\omega(n(\omega) + 1/2) = \frac{1}{2}\hbar\omega \coth(\omega/T)$$

Описание неравновесной бозе-системы



$$U = \int \mathcal{D}\phi \exp \left[\frac{i}{\hbar} \int_0^\infty \{ \phi G^{-1} \phi + \gamma \hbar \omega \coth(\omega/T) \phi \phi \} d\omega \right].$$

Описание неравновесной бозе-системы

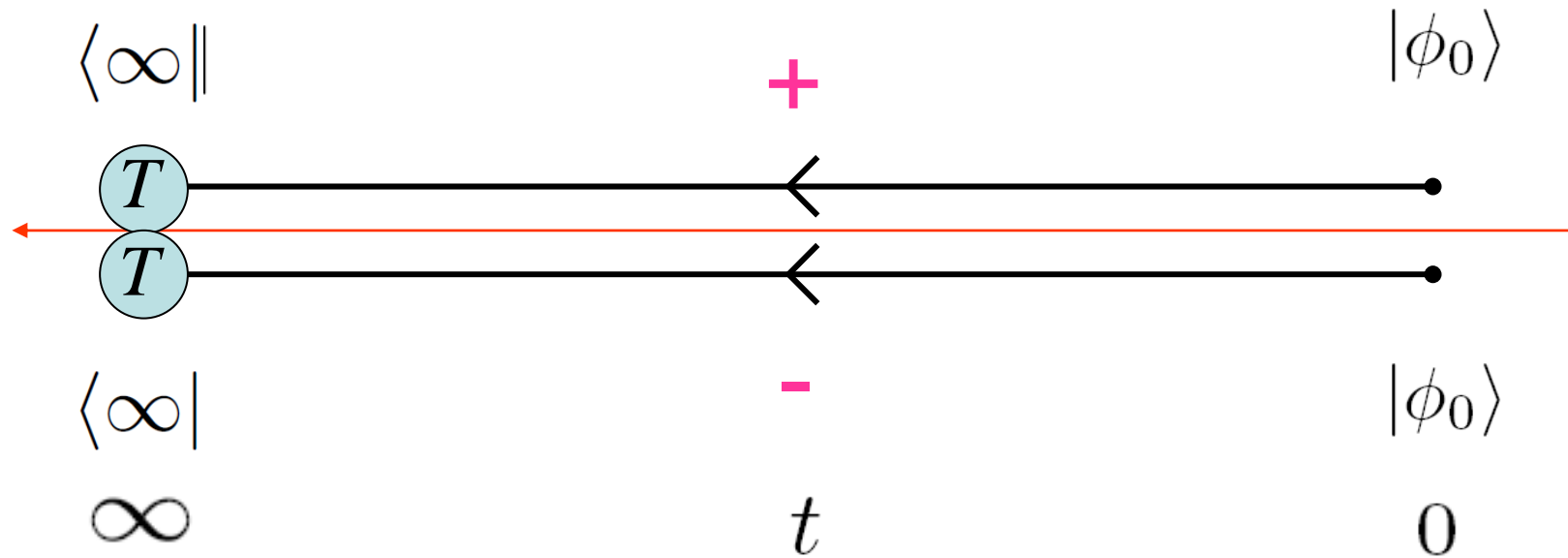


$$\langle \infty | U | \phi_0 \rangle = f(\phi_0) \quad ?$$

$$U = \int \mathcal{D}\phi \exp \left[\frac{i}{\hbar} \int_0^\infty \{ \phi G^{-1} \phi + \gamma \hbar \omega \coth(\omega/T) \phi \phi \} d\omega \right].$$

Операция усреднения не определена,
поскольку зависит от начальных условий т.е. от $|\phi_0\rangle$!

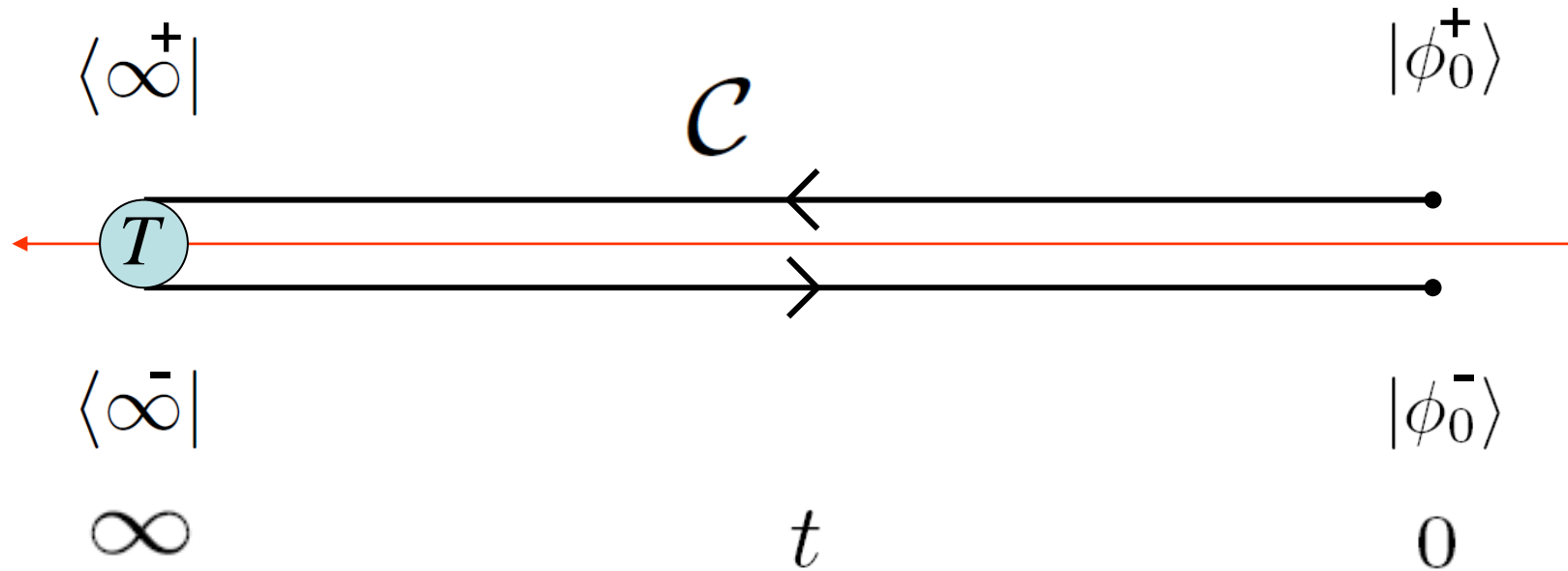
Описание неравновесной бозе-системы



$$U_1 = \int \mathcal{D}\phi^+ \exp \left[\frac{i}{\hbar} \int_0^\infty \{ \phi^+ G^{-1} \phi^+ + \gamma \hbar \omega \coth(\omega/T) \phi^+ \phi^+ \} d\omega \right].$$

$$U_2 = \int \mathcal{D}\phi^- \exp \left[\frac{i}{\hbar} \int_0^\infty \{ \phi^- G^{-1} \phi^- + \gamma \hbar \omega \coth(\omega/T) \phi^- \phi^- \} d\omega \right].$$

Описание неравновесной бозе-системы

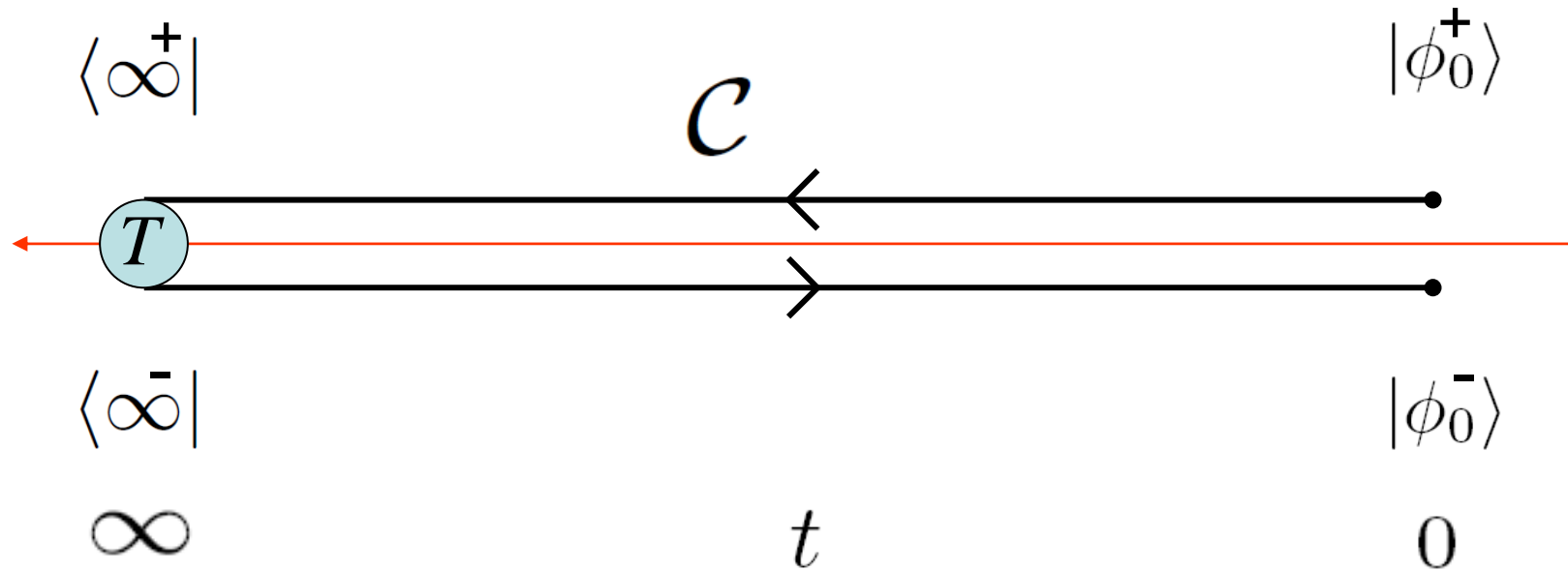


$$U_C \equiv 1$$

$$\langle \phi_0^- | \phi_0^+ \rangle = 1$$

Schwinger

Описание неравновесной бозе-системы



$$U_C = \int \mathcal{D}\phi^+ \mathcal{D}\phi^- \exp \left[\frac{i}{\hbar} \int_0^\infty \{ \phi^+ G^{-1} \phi^+ - \phi^- G_-^{-1} \phi^- \right. \\ \left. - \gamma \hbar \omega \coth(\omega/T) (\phi^+ \phi^+ + \phi^- \phi^- - \phi^+ \phi^- - \phi^- \phi^+) \} d\omega \right].$$

Описание неравновесной бозе-системы

+

Келдышевский поворот

$$\phi^{cl} = \sqrt{1/2}(\phi^+ + \phi^-), \phi^q = \sqrt{1/2}(\phi^+ - \phi^-)$$

$$\phi^+ = \sqrt{1/2}(\phi^{cl} + \phi^q), \phi^- = \sqrt{1/2}(\phi^{cl} - \phi^q)$$

$$U_c = \int \mathcal{D}\phi^+ \mathcal{D}\phi^- \exp \left[\frac{i}{\hbar} \int_0^\infty \{ \phi^+ G^{-1} \phi^+ - \phi^- G^{-1} \phi^- \right. \\ \left. - \gamma \hbar \omega \coth(\omega/T) (\phi^+ \phi^+ + \phi^- \phi^- - \phi^+ \phi^- - \phi^- \phi^+) \} d\omega \right].$$

Описание неравновесной бозе-системы

+

Келдышевский поворот

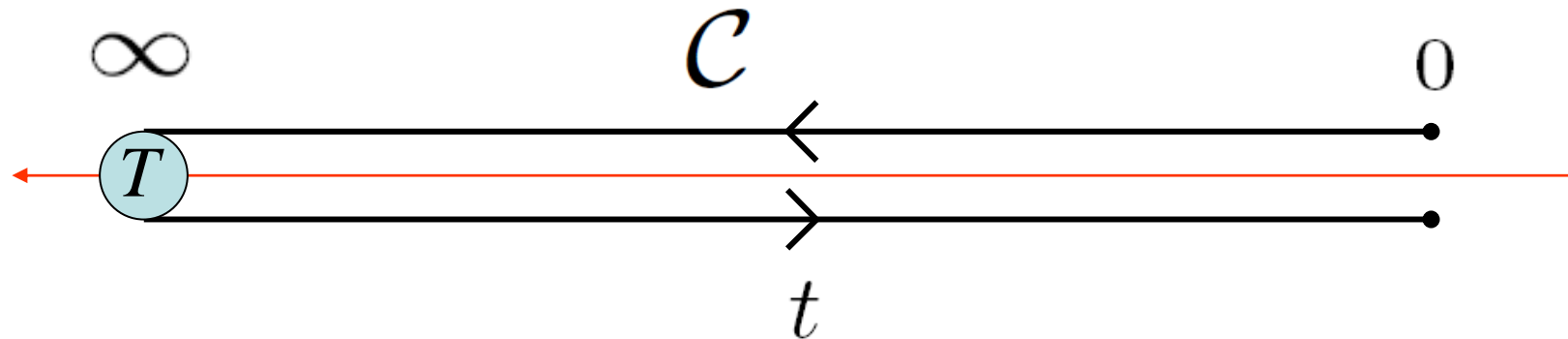
$$\phi^{cl} = \sqrt{1/2}(\phi^+ + \phi^-), \phi^q = \sqrt{1/2}(\phi^+ - \phi^-)$$

$$\phi^+ = \sqrt{1/2}(\phi^{cl} + \phi^q), \phi^- = \sqrt{1/2}(\phi^{cl} - \phi^q)$$

$$U_C = \int \mathfrak{D}\phi^{cl} \mathfrak{D}\phi^q \exp \left[\frac{i}{\hbar} \int_0^\infty \phi^q (\varepsilon + i\gamma\omega) \phi^{cl} d\omega + \right. \\ \left. + \frac{i}{\hbar} \int_0^\infty \phi^{cl} (\varepsilon - i\gamma\omega) \phi^q d\omega - \frac{i}{\hbar} \int_0^\infty 2\gamma\omega \coth(\beta\omega/2) \phi^q \phi^q d\omega \right]$$

Келдышевская техника

Описание неравновесной бозе-системы



$$Z = N \int \mathcal{D}\phi^{cl} \mathcal{D}\phi^q \exp [-S(\phi^{cl}, \phi^q)]$$

(сделан виковский поворот)

$$S(\phi^{cl}, \phi^q) = \int d\omega dk \left(\bar{\phi} \hat{G}^{-1} \bar{\phi} + U(\phi_{cl} + \phi_q) - U(\phi_{cl} - \phi_q) \right)$$

$$\hat{G}^{-1} = \left[\begin{array}{c|c} 0 & R \\ \hline \omega^2 + \varepsilon_k - i\gamma\omega & 2\gamma\omega \coth(\omega/T) \end{array} \right], \quad \bar{\phi} = \{\phi^q, \phi^{cl}\}$$

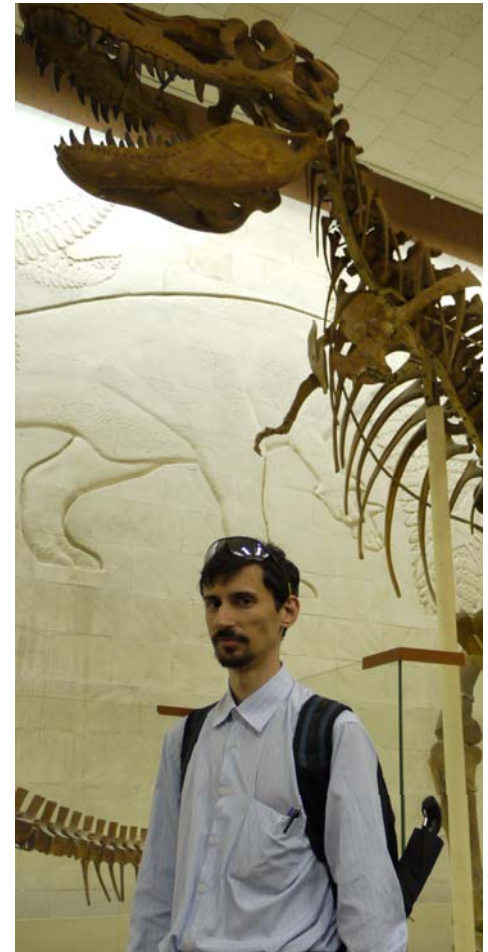
A K

Литература:

Many-body theory of non-equilibrium systems

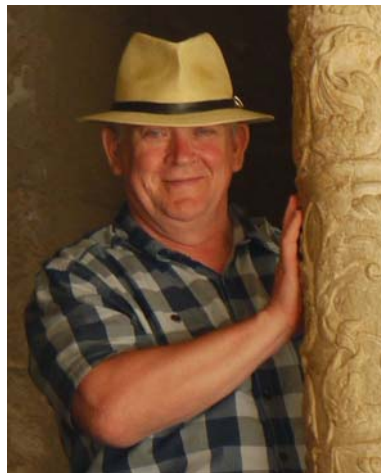
Alex Kamenev

*Department of Physics, University of Minnesota,
Minneapolis, MN 55455, USA*



Квантово-классический кроссовер вблизи квантовой критической точки

Винокур В.М.



Рыжов В.Н.

Васин М.Г.^{1,2}, Рыжов В.Н.², Винокур В.М.³

1 – ФТИ УрО РАН, Ижевск, Россия;

2 – ИФВД РАН, Ижевск, Россия

3 - Materials Science Division, Argonne National Laboratory, Argonne, USA

J. J. M. STEIJGER, E. FRIKKEE, L. J. DE JONGH and W. J. HUISKAMP: *J. Magn. and Magn. Mat.*, 31-34, 1091 (1983).

J. J. M. STEIJGER: Thesis, University of Leiden (1983).

[24] W.A. Erkelens *et al.* *Europhys. Lett.* 1, 37 (1986);

Stishov, S. M., Petrova, A. E., Gavrilkin, S. Yu., Klinkova, L. A. Quantum degradation of a second-order phase transition. *Phys. Rev. B* **91**, 144416 (2015).

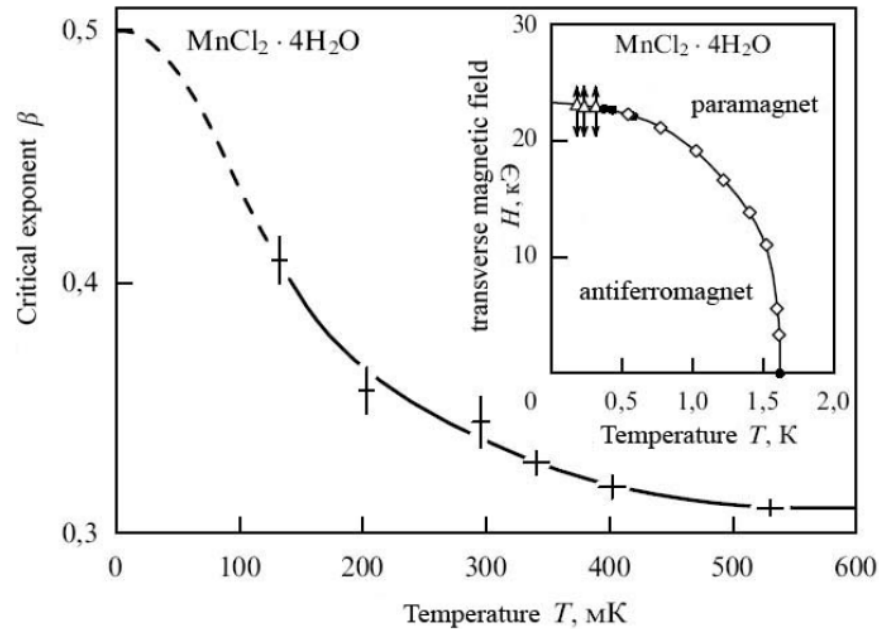


Figure 3: The dependence of critical exponent β determining the order parameter behavior, on the temperature of the antiferromagnet $\text{MnCl}_2 \cdot 4\text{H}_2\text{O}$ [24].

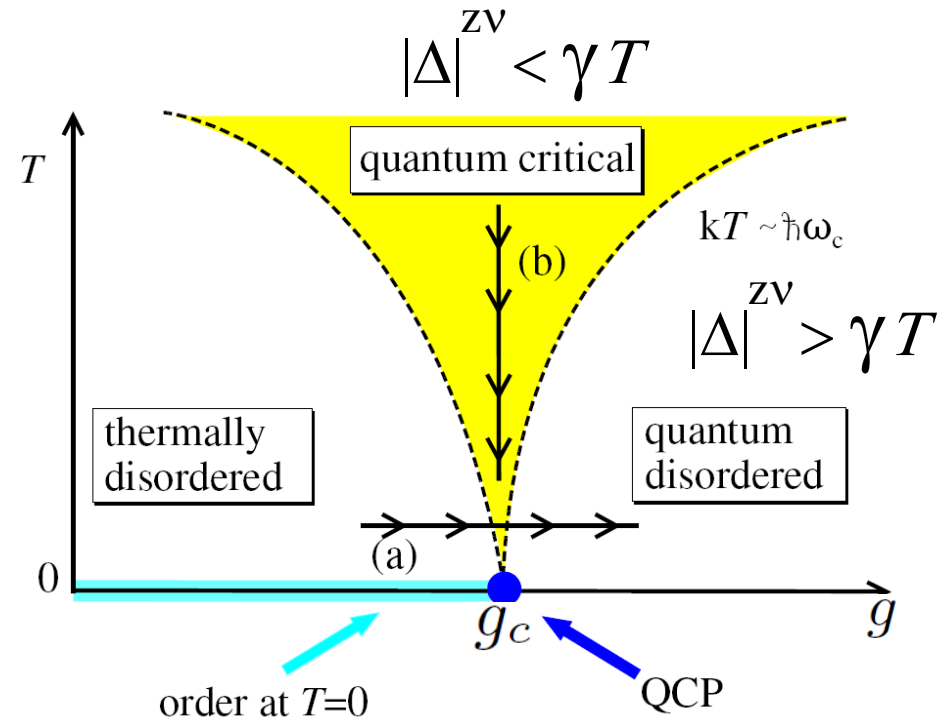
d → d+1

QUANTUM PHASE TRANSITIONS

- P. PFEUTY: *Ann. Phys. (N. Y.)*, **57**, 79 (1970).
 M. SUZUKI: *Prog. Theor. Phys.*, **56**, 1454 (1976).
 R. J. ELLIOTT, P. PFEUTY and C. WOOD: *Phys. Rev. Lett.*, **25**, 433 (1970).
 R. J. ELLIOTT and C. WOOD: *J. Phys. C*, **4**, 2359 (1971).
 P. PFEUTY and R. J. ELLIOTT: *J. Phys. C*, **4**, 2370 (1971).
 J. LAJZEROWICS and P. PFEUTY: *Phys. Rev. B*, **11**, 4560 (1975).
 A. P. YOUNG: *J. Phys. C*, **8**, L309 (1975).
 J. A. HERTZ: *Proceedings of the Conference on Magnetism* (San Francisco, Cal., 1978).
 J. OITMAA and G. J. COOMBS: *J. Phys. C*, **14**, 143 (1981).

SUBIR SACHDEV

*Professor of Physics,
 Yale University,
 New Haven, CT 06520-8120, USA*



INSTITUTE OF PHYSICS PUBLISHING

Rep. Prog. Phys. **66** (2003) 2069–2110

Quantum phase transitions

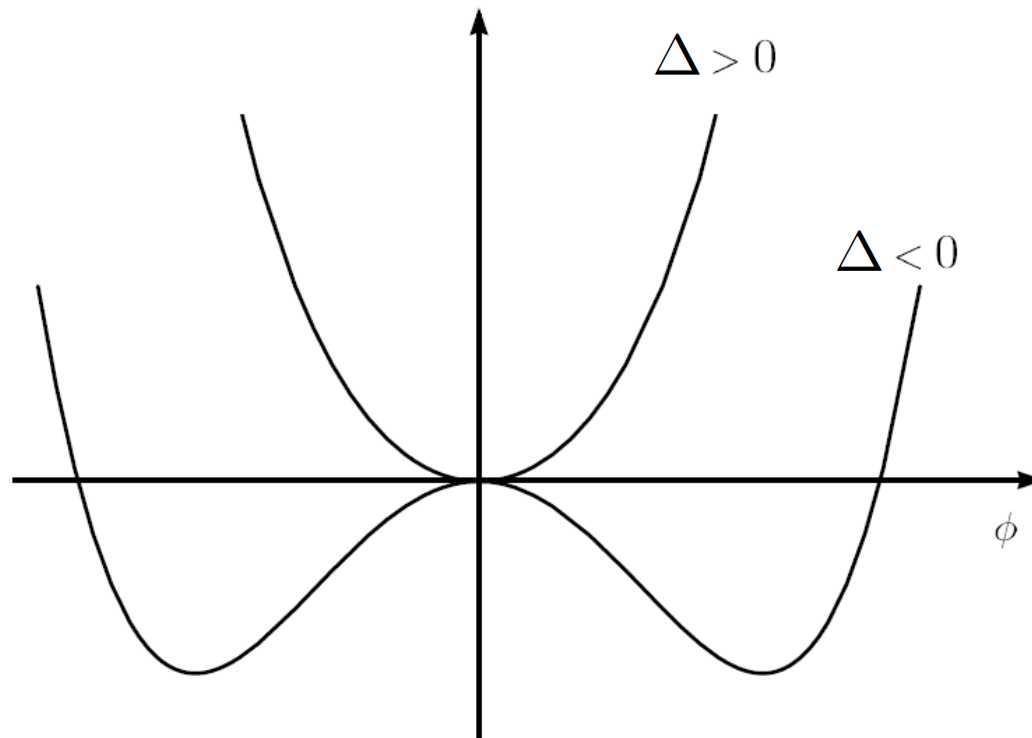
Matthias Vojta

**Необходимо рассмотреть
критическую динамику
вблизи ККТ**

Фазовый переход в ϕ^4 - модели

$$\phi^4\text{-модель} \quad U \approx \Delta(g)\phi^2 + v\phi^4$$

$$\Delta(g) = (g - g_c)$$



Статика

(классическая статистическая механика)

$$Z = N \int \mathfrak{D}\phi \exp [-S(\phi)]$$

$$S(\phi) = \frac{1}{T} \int dk (\phi G^{-1} \phi + U(\phi))$$

$$G^{-1} = \varepsilon_k = k^2 + \Delta$$

$$\Delta(g) = (g - g_c)$$

**N – нормировочный множитель,
 g – контролирующий параметр**

Динамика

(квантовая/классическая статистическая механика
бозе-системы в келдышевской технике)

$$Z = N \int \mathcal{D}\phi^{cl} \mathcal{D}\phi^q \exp \left[-S(\phi^{cl}, \phi^q) \right]$$

(сделан виковский поворот)

$$S(\phi^{cl}, \phi^q) = \int d\omega dk \left(\bar{\phi} \hat{G}^{-1} \bar{\phi} + U(\phi_{cl} + \phi_q) - U(\phi_{cl} - \phi_q) \right)$$

$$\hat{G}^{-1} = \left[\begin{array}{c|c} 0 & \overset{R}{\omega^2 + \varepsilon_k + i\gamma\omega} \\ \hline \underset{A}{\omega^2 + \varepsilon_k - i\gamma\omega} & \underset{K}{2\gamma\omega \coth(\omega/T)} \end{array} \right], \quad \bar{\phi} = \{\phi^q, \phi^{cl}\}$$

$$G^{-1K} = i \coth(\omega/T) \left[G^{-1A} - G^{-1R} \right] - \text{ФДТ}$$

MV1

От статической задачи динамическая отличается удвоенным количеством полей. Существует несколько техник описания неравновесной динамики. В данном случае приведена формулировка в рамках Келдышевской техники, в которой при определении пары полей выполняется т.н. КЕЛДЫШЕВСКИЙ поворот. Это очень удобное представление.

- Флуктуации = статансамль (в данном случае рассматривается система с бозе-статистикой)
- Флуктуации = диссипация (ФДТ)

Mikhail Vasin; 12.02.2014

Динамика

(квантовая/классическая статистическая механика
бозе-системы в келдышевской технике)

$$Z = N \int \mathcal{D}\phi^{cl} \mathcal{D}\phi^q \exp [-S(\phi^{cl}, \phi^q)]$$

$$S(\phi^{cl}, \phi^q) = \int d\omega dk \left(\bar{\phi} \hat{G}^{-1} \bar{\phi} + U(\phi_{cl} + \phi_q) - U(\phi_{cl} - \phi_q) \right)$$

$$\hat{G}^{-1} = \begin{bmatrix} 0 & \omega^2 + \varepsilon_k + i\gamma\omega \\ \omega^2 + \varepsilon_k - i\gamma\omega & 2\gamma\omega \coth(\omega/T) \end{bmatrix}, \quad \bar{\phi} = \{\phi^q, \phi^{cl}\}$$

This function determines the crossover between
quantum and classical limits

Динамика
(классический предел)

$$T \gg \omega$$

$$\hbar = 1 \text{ and } k_B = 1$$

$$Z = N \int \mathcal{D}\phi^{cl} \mathcal{D}\phi^q \exp [-S(\phi^{cl}, \phi^q)]$$

$$S(\phi^{cl}, \phi^q) = \int d\omega dk \left(\bar{\phi} \hat{G}^{-1} \bar{\phi} + U(\phi_{cl} + \phi_q) - U(\phi_{cl} - \phi_q) \right)$$

$$\hat{G}^{-1} = \begin{bmatrix} 0 & \omega^2 + \varepsilon_k + i\gamma\omega \\ \omega^2 + \varepsilon_k - i\gamma\omega & \underline{2\gamma T} \end{bmatrix}, \quad \bar{\phi} = \{\phi^q, \phi^{cl}\}$$

Критическая динамика
(классический предел)

$$T \gg \omega$$

$$Z = N \int \mathcal{D}\phi^{cl} \mathcal{D}\phi^q \exp [-S(\phi^{cl}, \phi^q)]$$

$$S(\phi^{cl}, \phi^q) = \int d\omega dk \left(\bar{\phi} \hat{G}^{-1} \bar{\phi} + U(\phi_{cl} + \phi_q) - U(\phi_{cl} - \phi_q) \right)$$

In the critical (fluctuation) region

$$\hat{G}^{-1} = \begin{bmatrix} 0 & \cancel{\omega^2} + \varepsilon_k + i\gamma\omega \\ \cancel{\omega^2} + \varepsilon_k - i\gamma\omega & \underline{2\gamma T} \end{bmatrix}, \quad \bar{\phi} = \{\phi^q, \phi^{cl}\}$$

dispersion

$$\omega \sim k^2 \quad \Rightarrow \quad z = 2 \quad \Rightarrow \quad D = d + 2$$

Динамика
(квантовый предел)

$$T \ll \omega$$

$$Z = N \int \mathcal{D}\phi^{cl} \mathcal{D}\phi^q \exp [-S(\phi^{cl}, \phi^q)]$$

$$S(\phi^{cl}, \phi^q) = \int d\omega dk \left(\bar{\phi} \hat{G}^{-1} \bar{\phi} + U(\phi_{cl} + \phi_q) - U(\phi_{cl} - \phi_q) \right)$$

$$\hat{G}^{-1} = \begin{bmatrix} 0 & \omega^2 + \varepsilon_k + i\gamma\omega \\ \omega^2 + \varepsilon_k - i\gamma\omega & \underline{2\gamma|\omega|} \end{bmatrix}, \quad \bar{\phi} = \{\phi^q, \phi^{cl}\}$$

Критическая динамика

(квантовый предел)

$$T \ll \omega$$

$$Z = N \int \mathcal{D}\phi^{cl} \mathcal{D}\phi^q \exp [-S(\phi^{cl}, \phi^q)]$$

$$S(\phi^{cl}, \phi^q) = \int d\omega dk \left(\bar{\phi} \hat{G}^{-1} \bar{\phi} + U(\phi_{cl} + \phi_q) - U(\phi_{cl} - \phi_q) \right)$$

$$\hat{G}^{-1} = \begin{bmatrix} 0 & \omega^2 + \varepsilon_k + i\gamma\omega \\ \omega^2 + \varepsilon_k - i\gamma\omega & \underline{2\gamma|\omega|} \end{bmatrix}, \quad \bar{\phi} = \{\phi^q, \phi^{cl}\}$$

dispersion

$$\omega \sim k^2 \quad \Rightarrow \quad z = 2$$

Динамика

(недиссипативный квантовый предел)

$$\underline{\gamma \rightarrow 0} \quad \omega \ll \tau_{rel}^{-1} \quad T \ll \tau_{rel}^{-1}$$
$$Z = N \int \mathcal{D}\phi^{cl} \mathcal{D}\phi^q \exp [-S(\phi^{cl}, \phi^q)]$$

$$S(\phi^{cl}, \phi^q) = \int d\omega dk \left(\bar{\phi} \hat{G}^{-1} \bar{\phi} + U(\phi_{cl} + \phi_q) - U(\phi_{cl} - \phi_q) \right)$$

$$\hat{G}^{-1} = \begin{bmatrix} 0 & \omega^2 + \varepsilon_k + i\gamma\omega \\ \omega^2 + \varepsilon_k - i\gamma\omega & 2\gamma\omega \coth(\omega/T) \end{bmatrix}, \quad \bar{\phi} = \{\phi^q, \phi^{cl}\}$$

Динамика

(недиссипативный квантовый предел)

$$\underline{\gamma \rightarrow 0} \quad \omega \ll \tau_{rel}^{-1} \quad T \ll \tau_{rel}^{-1}$$
$$Z = N \int \mathcal{D}\phi^{cl} \mathcal{D}\phi^q \exp [-S(\phi^{cl}, \phi^q)]$$

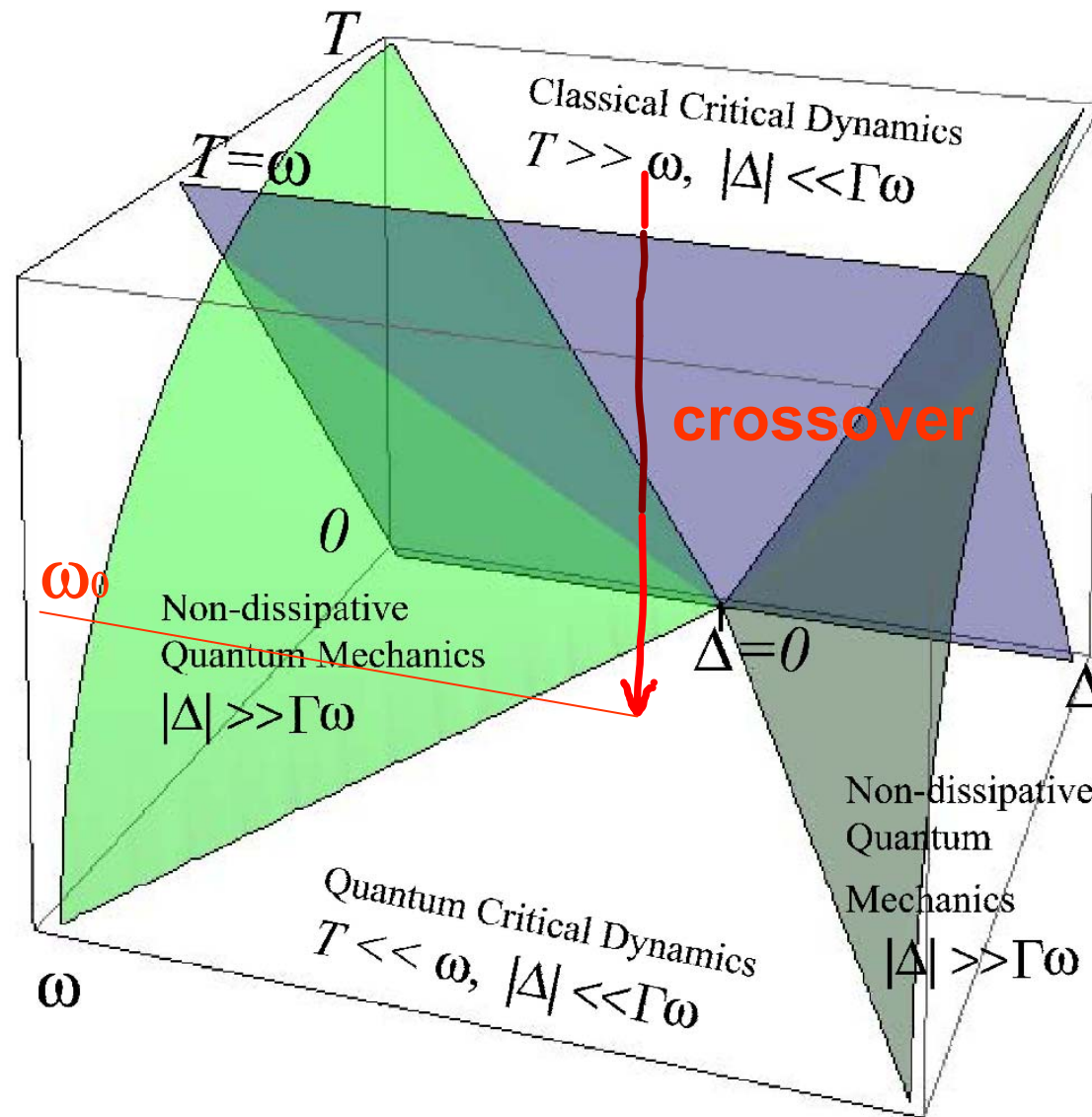
$$S(\phi^{cl}, \phi^q) = \int d\omega dk \left(\bar{\phi} \hat{G}^{-1} \bar{\phi} + U(\phi_{cl} + \phi_q) - U(\phi_{cl} - \phi_q) \right)$$

$$\hat{G}^{-1} = \begin{bmatrix} 0 & \omega^2 + \varepsilon_k + i\gamma\omega \\ \omega^2 + \varepsilon_k - i\gamma\omega & 2\gamma\omega \coth(\omega/T) \end{bmatrix}, \quad \bar{\phi} = \{\phi^q, \phi^{cl}\}$$

дисперсионное соотношение

$$\omega \sim k \quad \Rightarrow \quad z = 1 \quad \Rightarrow \quad D = d + 1$$

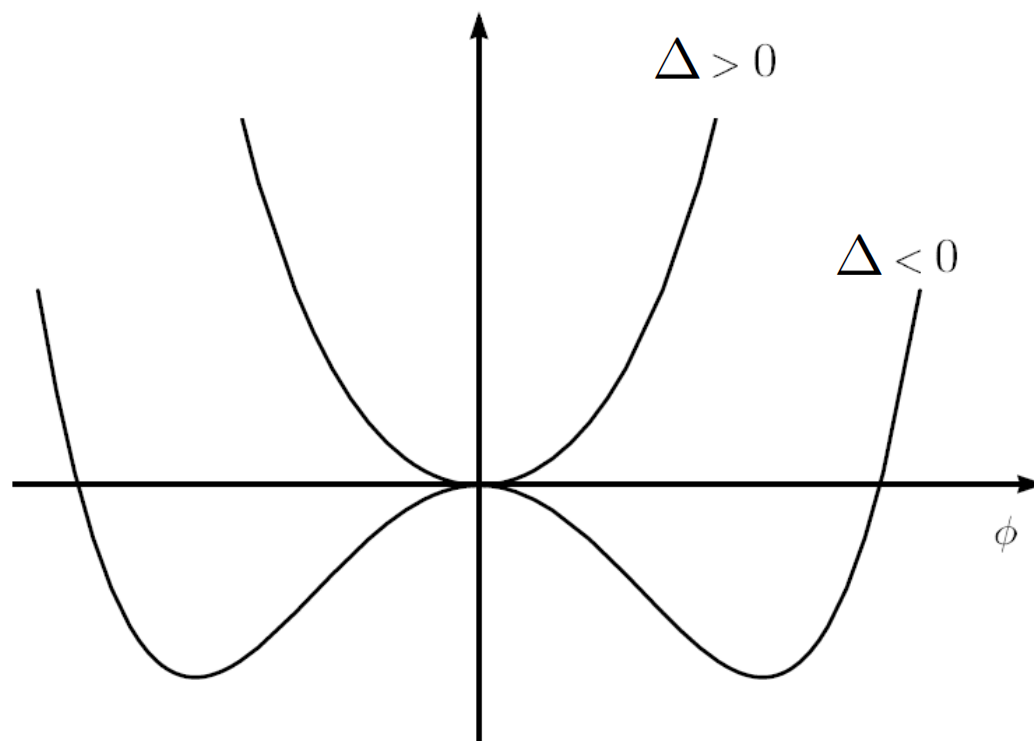
Кроссовер из CCD в QCD



Критическая динамика

$$\phi^4\text{-модель} \quad U \approx \Delta(g)\phi^2 + v\phi^4$$

$$\Delta(g) = (g - g_c)$$



Критическая динамика

$$\phi^4\text{-модель} \quad U \approx \Delta(g)\phi^2 + v\phi^4$$

$$\Delta(g) = (g - g_c)$$

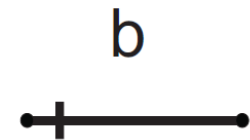
$$Z = N \int \mathcal{D}\phi^{cl} \mathcal{D}\phi^q \exp [-S(\phi^{cl}, \phi^q)]$$

$$S(\phi^{cl}, \phi^q) = \int d\omega dk \left(\bar{\phi} \hat{G}^{-1} \phi + U(\phi_{cl} + \phi_q) - U(\phi_{cl} - \phi_q) \right)$$

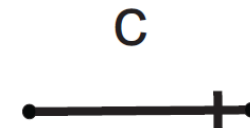
$$G^K(\omega) = \langle \phi^{cl}(\omega) \phi^{cl}(-\omega) \rangle = \langle \phi^{cl} \phi^{cl} \rangle_\omega = \frac{2\gamma\omega \coth(\omega/T)}{\gamma^2\omega^2 + \varepsilon^2}$$



$$G^A(\omega) = \langle \phi^q(\omega) \phi^{cl}(-\omega) \rangle = \langle \phi^q \phi^{cl} \rangle_\omega = \frac{1}{i\gamma\omega + \varepsilon}$$



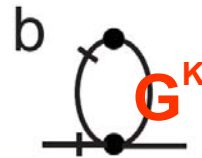
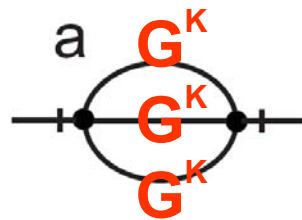
$$G^R(\omega) = \langle \phi^{cl}(\omega) \phi^q(-\omega) \rangle = \langle \phi^{cl} \phi^q \rangle_\omega = \frac{1}{-i\gamma\omega + \varepsilon}$$



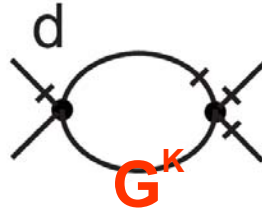
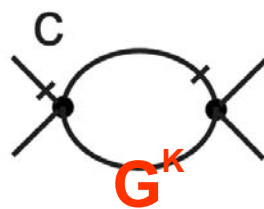
Критическая динамика (классическо-квантовый кроссовер)

ϕ^4 -модель $U \approx \Delta(g)\phi^2 + v\phi^4$

$$G^K(\omega) = \frac{2\gamma\omega \coth(\omega/T)}{(\omega^2 + \varepsilon_k)^2 + \gamma^2\omega^2} \approx \frac{2\gamma T |\omega/T|^{\Lambda(T)}}{(\omega^2 + \varepsilon_k)^2 + \gamma^2\omega^2}$$

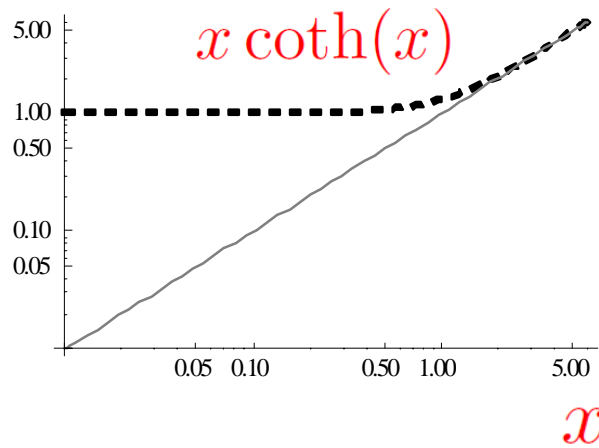


$$\sim \int \frac{|\omega|^\Lambda}{(k^2 + i\omega)^3} d\omega d^d k$$



$d \rightarrow d' = d + 2\Lambda$

FIG. 3: The graph representation of the contributions to the renormalization of the theory's vertexes.

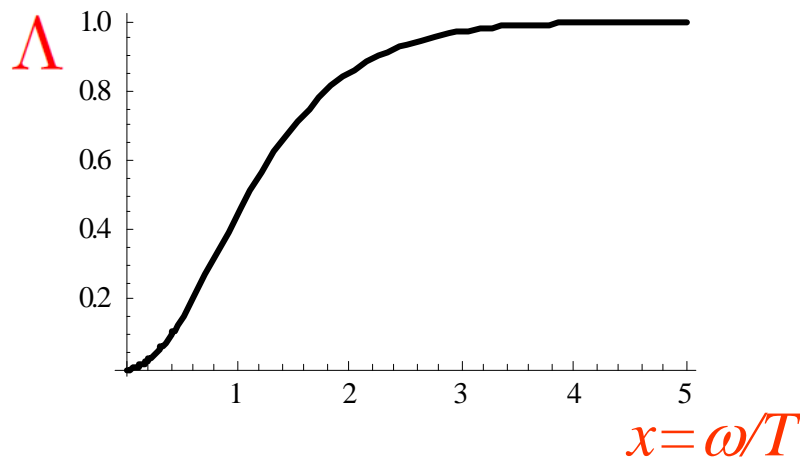


$$G^K(\omega) \approx \frac{2\gamma T |\omega/T|^{\Lambda(T)}}{(\omega^2 + \varepsilon_k)^2 + \gamma^2 \omega^2}$$

$$\Lambda(\omega_0/T) = \left. \frac{\partial \ln[x \coth(x)]}{\partial \ln x} \right|_{x=\omega_0/T} \quad (0 \leq \Lambda \leq 1)$$



$$\Lambda(\omega_0/T) = (\coth(\omega_0/T) - (\omega_0/T) \operatorname{csch}^2(\omega_0/T)) \tanh(\omega_0/T)$$



$$d \rightarrow d' = d + 2\Lambda$$

Критические показатели:

$$\chi \sim |\Delta|^{-\gamma} \quad \text{- susceptibility}$$

$$r_c \sim |\Delta|^{-\nu} \quad \text{- correlation radius}$$

$$G(r) \sim r^{-d+2-\eta} \quad \text{- Green function}$$

$$C_v \sim |\Delta|^{-\alpha} \quad \text{- heat capacity}$$

$$\langle \phi \rangle \sim |\Delta|^\beta \quad \text{- average field}$$

Критические показатели:

$$\alpha' \approx \frac{4-n}{2(n+8)}\varepsilon', \quad n = 1$$

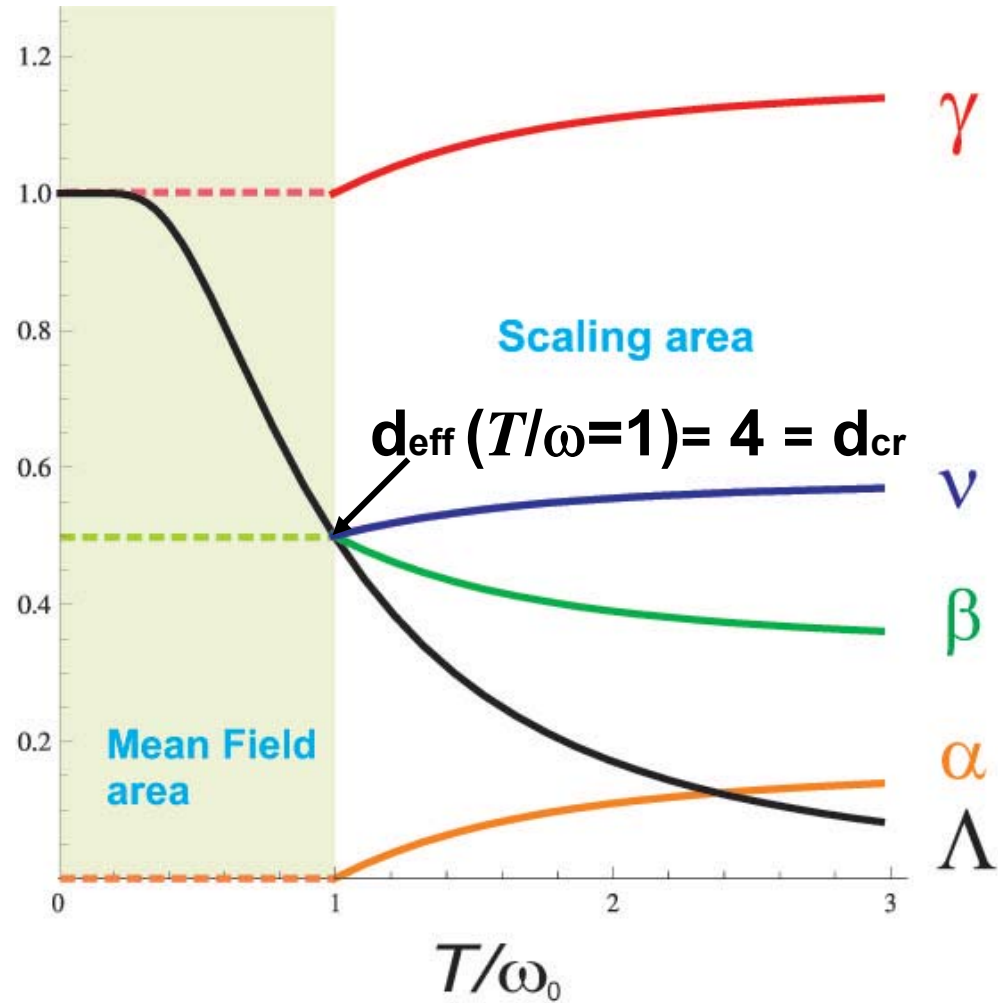
$$\nu' \approx \frac{1}{2} + \frac{n+2}{4(n+8)}\varepsilon',$$

$$\beta' \approx \frac{1}{2} - \frac{3}{2(n+8)}\varepsilon'$$

$$\gamma' \approx 1 + \frac{n+2}{2(n+8)}\varepsilon'$$

$$\varepsilon' = \varepsilon - \Lambda \quad \varepsilon = (4-d)/2$$

Критические показатели (3D, Bose, $n=1$):



Выводы

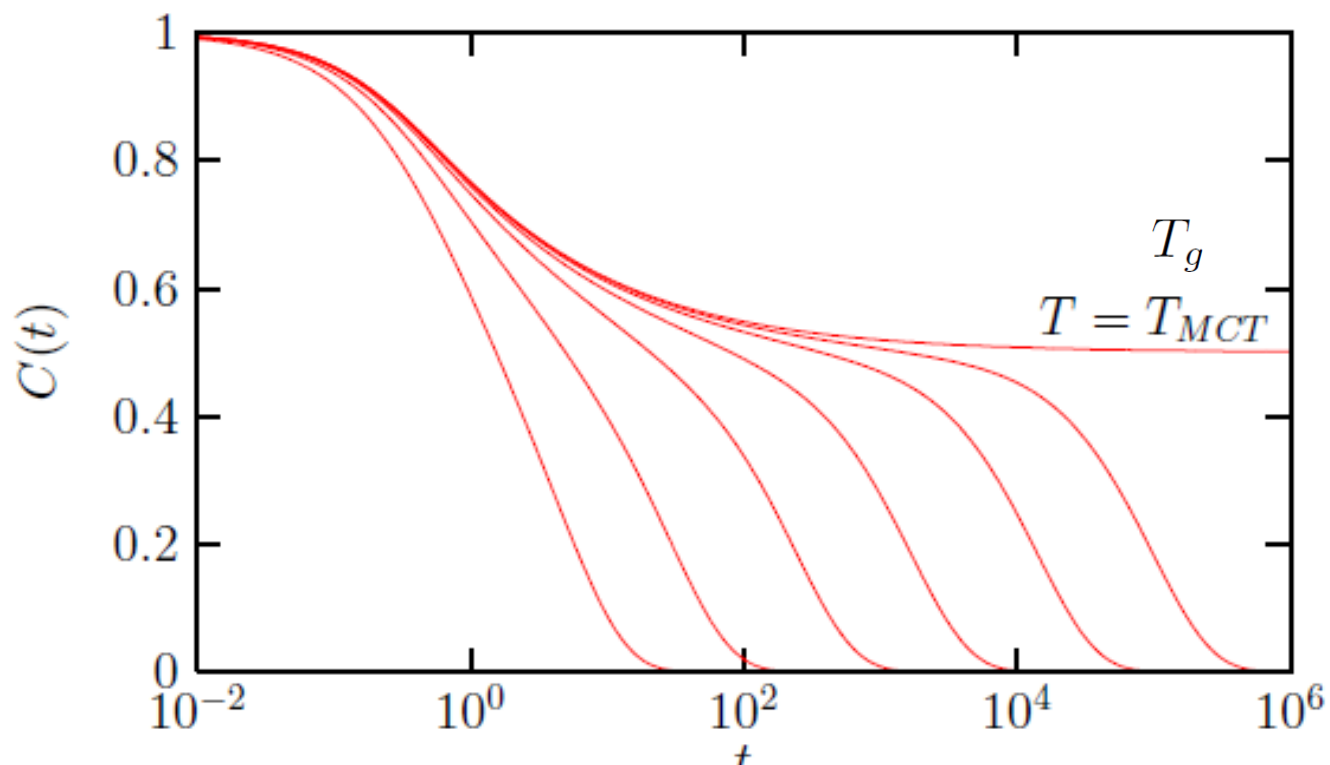
Вблизи квантовой критической точки существует три различных критических режима: классический диссипативный, квантовый диссипативный и квантовый недиссипативный.

Вблизи квантовой критической точки при приближении T к $T=0$ значения критических индексов непрерывно приближаются к крит. индексам, соответствующим размерности $d+z$

Теоретическое описание критической динамики перехода жидкость-стекло

Наличие плато на временной зависимости корреляционной функции

$$C(t) = \frac{1}{N} \sum_{i=1}^N \langle S_i(0)S_i(t) \rangle \quad C(t) = \frac{1}{V} \int d\mathbf{r} \langle \delta\rho(\mathbf{r}, t)\delta\rho(\mathbf{r}, 0) \rangle$$



[Barrat *et al.*, 2003] *Slow relaxations and nonequilibrium dynamics in condensed matter*, Eds: J.-L. Barrat, J. Dalibard, M. Feigelman, J. Kurchan (Springer, Berlin, 2003).

Conditions for glass transition in a system :

1. The system is in a fluctuation region close to a supposed second order phase transition

potential energy - $U(\mathbf{Q}) = \frac{1}{2}\mu^2\mathbf{Q}^2 + \frac{1}{4}v\mathbf{Q}^4,$

order parameter

$$\hat{\mu}^2 = \alpha K_B (T - T_c)$$

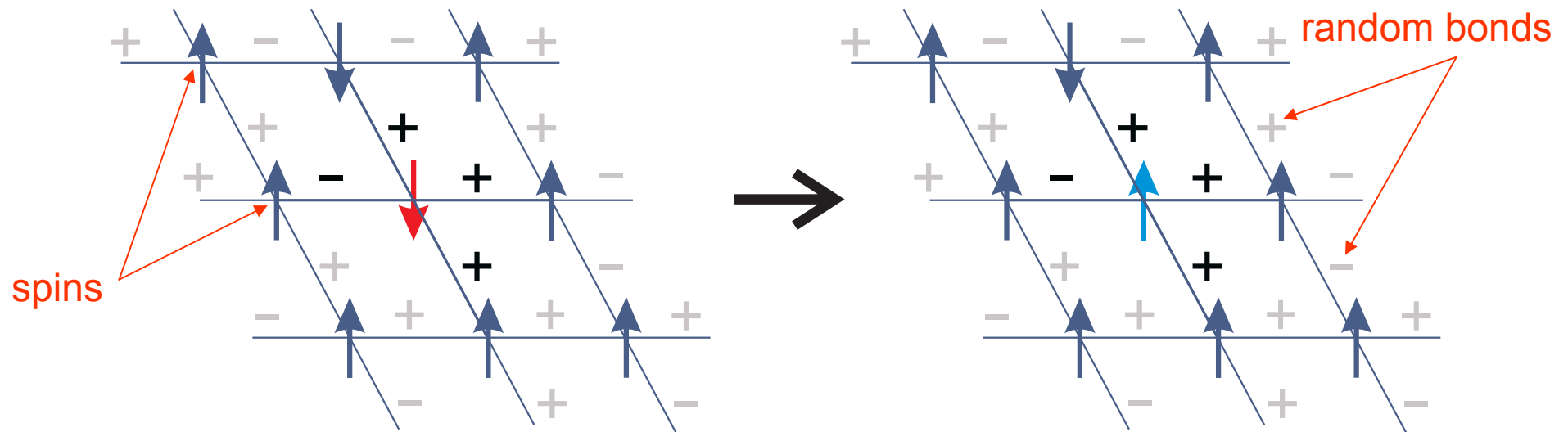
temperature of the system

temperature of phase transition

2. The system is frustrated

Frustration in spin glass

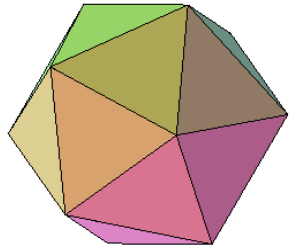
FIG. 1: The toy model of spin glass, described by the Edwards–Anderson Hamiltonian, $H = \sum J_{ij} S_i S_j$, where $S_i = \pm 1$ is a frustrated spin on the lattice point i , and $J_{ij} = \pm 1$. This system is invariant under the local transformation $J_{ij} \rightarrow -J_{ij}$ for all j adjacent to i .



Local invariance (in some points)

Frustration in amorphous matter

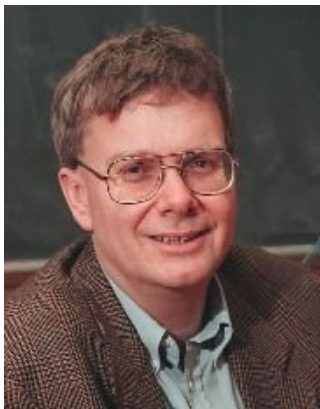
Geometrical frustration



- icosahedra

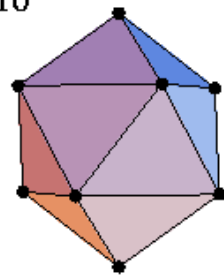
Local invariance

disclinations

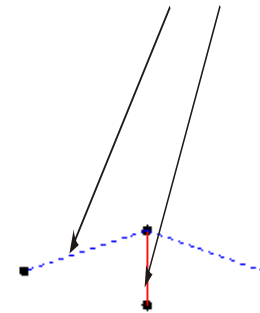
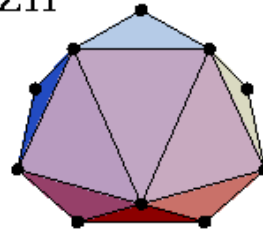


David R. Nelson

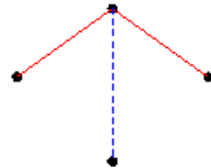
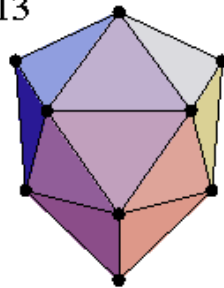
Z10



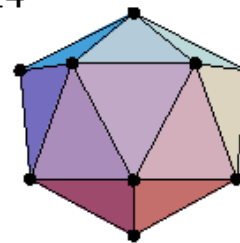
Z11



Z13



Z14



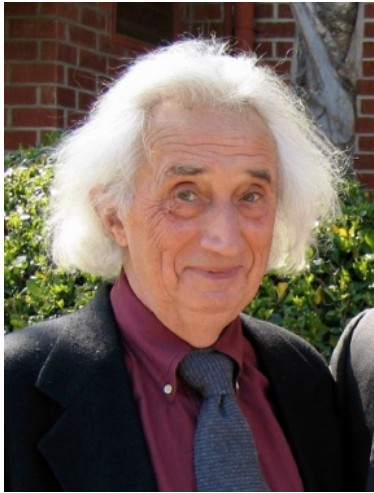
Gilles Tarjus



Z - coordination number

Gauge model of Glasses

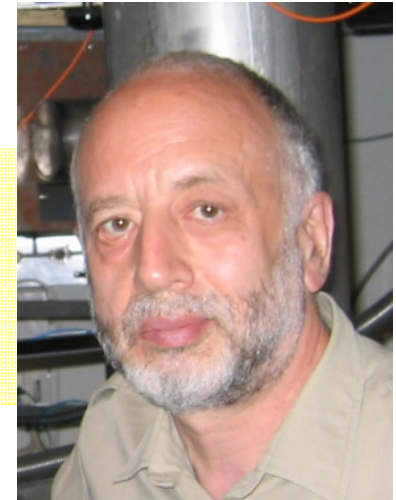
Gauge model of Glass



I. E. Dzyaloshinskii

LE JOURNAL DE PHYSIQUE TOME 39, JUIN 1978, PAGE 693
**ON THE CONCEPT OF LOCAL INVARIANCE IN THE THEORY
OF SPIN GLASSES**

I. E. DZIALOSHINSKII and G. E. VOLOVIK



G. E. Volovik

PHYSICAL REVIEW B

VOLUME 18, NUMBER 9

1 NOVEMBER 1978

Gauge models for spin-glasses

J. A. Hertz



N. Rivier

J. Physique 43 (1982) 293-306

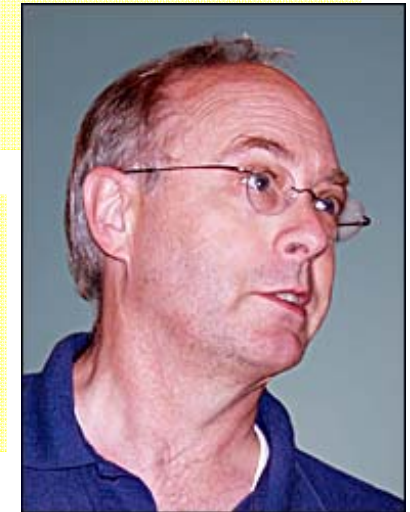
Line defects and tunnelling modes in glasses

N. Rivier and D. M. Duffy

Revista Brasileira de Física, Vd. 15, nº 4, 1985

Theory of Glass*

N. RIVIER



J. A. Hertz

$$L = \frac{1}{2} (\partial_i \vec{s}) (\partial_i \vec{s})$$

$$\vec{s}(\vec{r}) \rightarrow \hat{R} \vec{s}(\vec{r})$$

**The IDEA is to write a Lagrangian
which is invariant relative to local rotation in \mathbf{r}**

$$\vec{s}(\vec{r}) \rightarrow \hat{R}(\vec{r}) \vec{s}(\vec{r})$$

$$\partial_i \vec{s}(\vec{r}) \rightarrow \hat{R}(\vec{r}) \partial_i \vec{s}(\vec{r}) + \left(\partial_i \hat{R}(\vec{r}) \right) \vec{s}(\vec{r})$$

Local (gauge) invariance of action

One can introduce a new operator, which is invariant relatively of the local rotations:

$$D_i \vec{s}(\vec{r}) \rightarrow \hat{R}(\vec{r}) D_i \vec{s}(\vec{r})$$

which has the form of:

$$D_i = \partial_i + \hat{A}_i(\vec{r})$$

and is determined by the expression:

$$\left(\partial_i \hat{R}(\vec{r}) \right) \vec{s} = -[\hat{A}_i \hat{R}] \vec{s}$$

Local (gauge) invariant action

Then, in continuous presentation, the derivative should be replaced by the covariant derivative with some gauge field. As a result the action has the form of

$$\mathcal{S} = \beta \int \left[\frac{1}{2} (\vec{D}\mathbf{Q})^2 - U(\mathbf{Q}) + \frac{1}{4} \mathbf{F}^2 + \mathbf{J}\mathbf{A} \right] d\mathbf{r},$$

sources of the gauge field

where

$$U(\mathbf{Q}) = \frac{1}{2} \mu^2 \mathbf{Q}^2 + \frac{1}{4} v \mathbf{Q}^4,$$

gauge field

$$D_i Q_{lk} = \partial_i Q_{lk} + g \varepsilon_{iab} A_{la} Q_{kb},$$

$$F_{a\mu\nu} = \partial_\mu A_{a\nu} - \partial_\nu A_{a\mu} + g \varepsilon_{abc} A_{b\mu} A_{c\nu}.$$

Averaging over fast modes (FMA)

$$\mathcal{S} = \beta \int \left[\frac{1}{2} (\vec{D}\mathbf{Q})^2 - U(\mathbf{Q}) + \frac{1}{4} \mathbf{F}^2 + \mathbf{J}\mathbf{A} \right] dr$$

- 1) \mathbf{J} – are sources of the gauge field (vortex, disclinations) appearing because of the **frustration**. At $\mathbf{T} > \mathbf{T}_c$ they are in thermal equilibrium, therefore one can average over \mathbf{J}

$$\langle \mathbf{J}\mathbf{J} \rangle_k = I_0,$$

density of frustrations

- 2) Close to the \mathbf{T}_c the order parameter is represented as a sum of the **slow** and **fast** parts.

$$\mathbf{Q} = \underbrace{\Phi}_{\text{slow part}} + \underbrace{\Psi}_{\text{fast part}}$$

We should to carry out the averaging over fast part

$$\langle \Psi^2 \rangle \approx \hat{\mu}^2 / 2v$$

The result of FMA

$$\mathcal{S}' = \beta \int \left[\frac{1}{2} (\vec{\partial}\Phi)^2 + \frac{g^2}{2} \Phi^2 \mathbf{A}^2 + \frac{1}{2} M^2 \mathbf{A}^2 + \frac{1}{2} \hat{\mu}^2 \Phi^2 + \frac{1}{4} v \Phi^4 + \frac{1}{4} \mathbf{F}^2 \right] d\mathbf{r}$$

$$\hat{\mu}^2 = \alpha K_B (T - T_c)$$

$$M^2 = \hat{\mu}^2 g^2 / 2v - I_0$$

As a result the transition happens at $M^2 = 0$

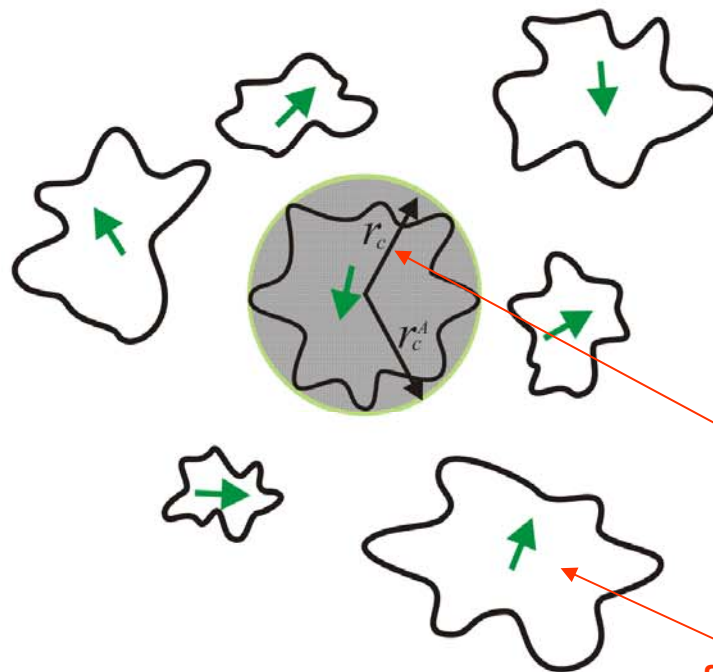
and the temperature of this transition shifts from T_c , to $T_g > T_c$.

$$T_g = T_c + 2I_0 v / \alpha K_B g^2$$

The physical meaning of the model

$$S' = \beta \int \left[\frac{1}{2} (\vec{\partial}\Phi)^2 + \frac{g^2}{2} \Phi^2 \mathbf{A}^2 + \frac{1}{2} \underline{M^2} \mathbf{A}^2 + \frac{1}{2} \underline{\hat{\mu}^2} \Phi^2 + \frac{1}{4} v \Phi^4 + \frac{1}{4} \mathbf{F}^2 \right] d\mathbf{r}$$

a Fluctuations in a not frustrated system



$T \approx T_c$

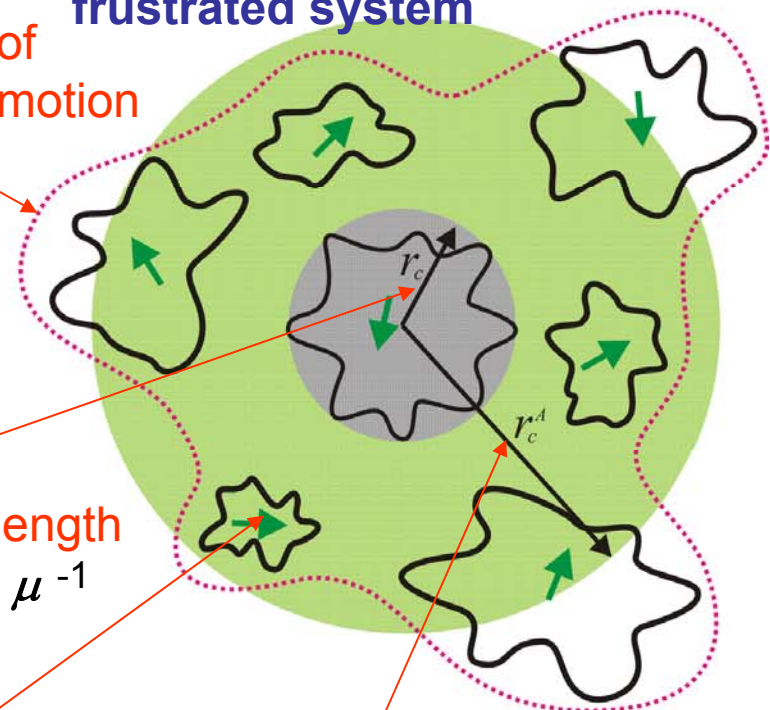
b Fluctuations in a frustrated system

the region of correlated motion

correlation length of the OP $\sim \mu^{-1}$

fluctuations of the OP

correlation length of the gauge field $\sim M^{-1}$



$T \approx T_g$

$$\vec{\phi} = \{\bar{\phi}, \phi\}, \quad \vec{A}_\mu^a = \{\bar{A}_\mu^a, A_\mu^a\}$$

$$\begin{aligned}
 Z = \int D\vec{\phi} D\vec{A}_\mu^a \exp \left\{ \frac{i}{2} \int_{t,t'} \vec{\phi}(t) \hat{G}^{-1}(t, t') \vec{\phi}(t') + \right. \\
 \frac{i}{2} \int_{t,t'} \vec{A}_\mu^a(t) \hat{\Delta}_{\mu\nu}^{-1}(t, t') \vec{A}_\nu^a(t') - ig\epsilon^{abc} \int_t (\partial_\mu \bar{A}_\nu^a) A_\mu^b A_\nu^c - \\
 ig\epsilon^{abc} \int_t (\partial_\mu A_\nu^a) \bar{A}_\mu^b A_\nu^c - ig\epsilon^{abc} \int_t (\partial_\mu A_\nu^a) A_\mu^b \bar{A}_\nu^c - \\
 ig^2 \epsilon^{abc} \epsilon^{aij} \int_t \bar{A}_\mu^b A_\nu^c A_\mu^i A_\nu^j - \\
 \left. ig^2 \int_t \bar{A}_\mu^a A_\mu^a \phi^2 - ig^2 \int_t (A_\mu^a)^2 \bar{\phi} \phi - iv4 \int_t \bar{\phi} \phi^3 \right\},
 \end{aligned}$$

$$M^2 = 0$$

$$\underline{\mu^2 = 4I_0 v / g^2}$$

Функциональные методы (метод динамического производящего функционала, метод Келдыша)

$$\vec{\phi} = \{\bar{\phi}, \phi\}, \quad \vec{A}_\mu^a = \{\bar{A}_\mu^a, A_\mu^a\}$$

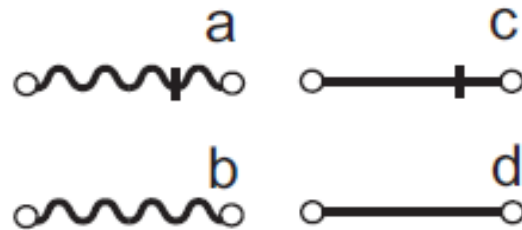
$$\hat{G} = \begin{pmatrix} G^K & G^A \\ G^R & 0 \end{pmatrix}, \quad \hat{\Delta}_{\mu\nu} = \begin{pmatrix} \Delta_{\mu\nu}^K & \Delta_{\mu\nu}^A \\ \Delta_{\mu\nu}^R & 0 \end{pmatrix}.$$

$$i\Delta_{\mu\nu}^{R(A)}(k, \omega) = \frac{-i\delta_{\mu\nu}}{k^2 + M^2 \pm i\Gamma_A\omega},$$

$$iG^{R(A)}(k, \omega) = \frac{i}{k^2 + \mu^2 \pm i\Gamma_\phi\omega},$$

$$i\Delta_{\mu\nu}^K(k, \omega) = \frac{-i2\Gamma_A\delta_{\mu\nu}}{(k^2 + M^2)^2 + \Gamma_A^2\omega^2},$$

$$iG^K(k, \omega) = \frac{i2\Gamma_\phi}{(k^2 + \mu^2)^2 + \Gamma_\phi^2\omega^2},$$



For analysis of the system's critical properties close to T_g one can use the functional methods of non-equilibrium dynamics

(Keldysh technique)

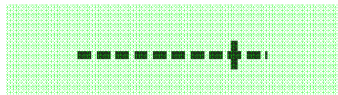
$$\vec{A}_\mu^a = \{\bar{A}_\mu^a, A_\mu^a\}$$

$$\vec{\Phi} = \{\bar{\Phi}, \Phi\}$$

$$\hat{\Delta}_{\mu\nu} = \begin{pmatrix} \Delta_{\mu\nu}^K & \Delta_{\mu\nu}^A \\ \Delta_{\mu\nu}^R & 0 \end{pmatrix}$$

$$\hat{G} = \begin{pmatrix} G_0^K & G_0^A \\ G_0^R & 0 \end{pmatrix}$$

$$\Delta_{\mu\nu}^A = \langle \bar{\mathbf{A}} \mathbf{A} \rangle_t = \theta(t) \frac{e^{-t\varepsilon_k(M)/\Gamma_A(T)}}{\Gamma_A(T)}$$



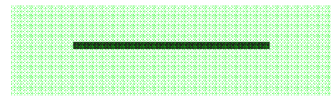
$$G_0^A = \langle \bar{\Phi} \Phi \rangle_t = \theta(t) \frac{e^{-t\varepsilon_k(\mu)/\Gamma_\Phi(T)}}{\Gamma_\Phi(T)}$$



$$\Delta_{\mu\nu}^K = \langle \mathbf{A} \mathbf{A} \rangle_t = \frac{e^{-|t|\varepsilon_k(M)/\Gamma_A(T)}}{\varepsilon_k(M)}$$

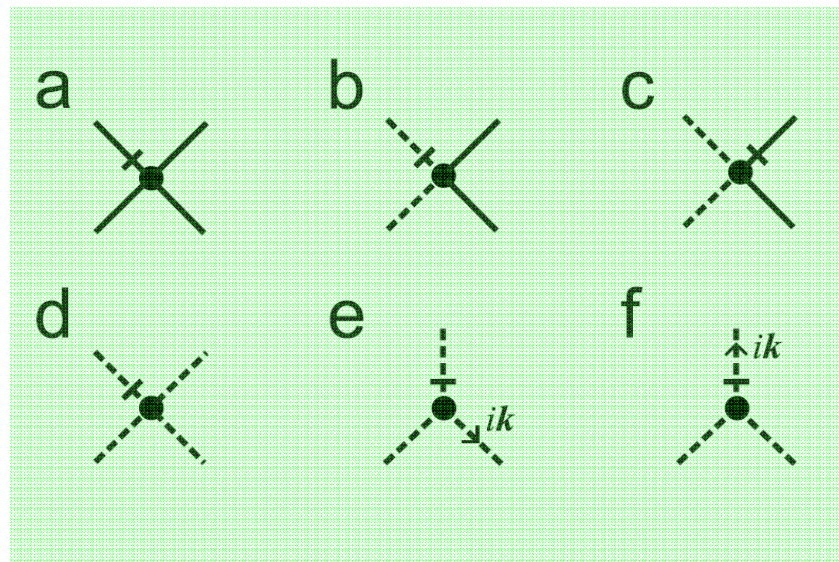


$$G_0^K = \langle \Phi \Phi \rangle_t = \frac{e^{-|t|\varepsilon_k(\mu)/\Gamma_\Phi(T)}}{\varepsilon_k(\mu)}$$

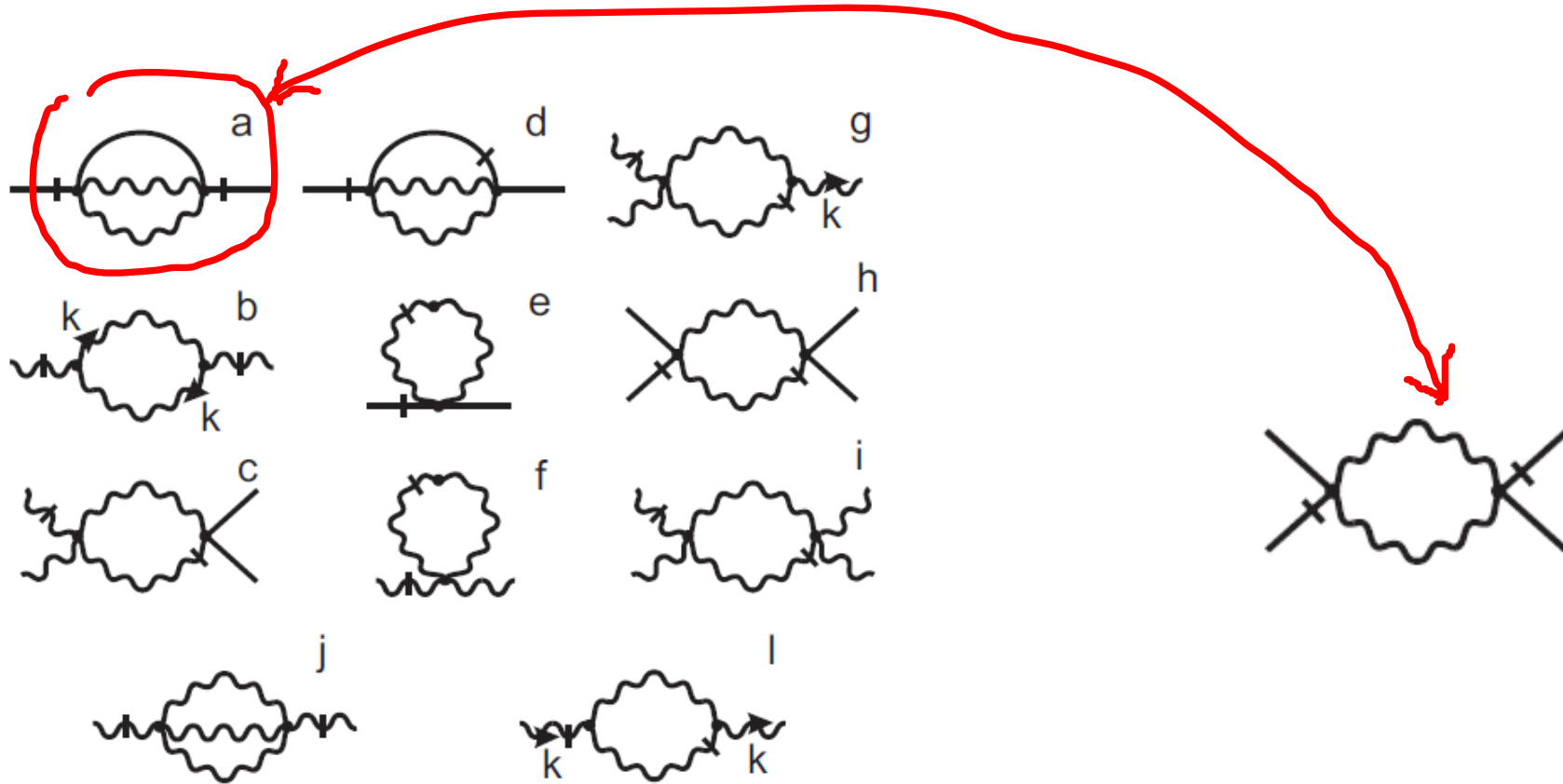


$$\varepsilon_k(x) = k^2 + x^2$$

вершины



Перенормировка



$$\Sigma \approx \Gamma_\phi \frac{g^4 \ln(1/\Lambda)}{\pi^2} (1 - e^{-4I_0 v |t_0| / \Gamma_\phi g^2})$$

Λ - параметр регуляризации,

t_0 - время наблюдения

$$t_o \gg \Gamma_\phi g^2 / 4I_0 v$$

$$t_o \ll \Gamma_\phi g^2 / 4I_0 v$$

$$\begin{aligned} \frac{\partial \ln(\Gamma_\phi)}{\partial \xi} &= g^4 / \pi^2, \\ \frac{\partial \ln(\Gamma_A)}{\partial \xi} &= 3g^4 / \pi^2 + g^2 / 2\pi^2, \\ \frac{\partial \ln(M^2)}{\partial \xi} &= 2 + 3g^2 / 2\pi^2, \\ \frac{\partial \ln(\mu^2)}{\partial \xi} &= 2 + \frac{M^2 g^2}{2\mu^2 \pi^2} \approx 2, \\ \frac{\partial \ln(g^2)}{\partial \xi} &= \varepsilon - g^2 / \pi^2, \\ \frac{\partial \ln v}{\partial \xi} &= \varepsilon - g^4 / 2v\pi^2, \end{aligned}$$

$$\begin{aligned} \frac{\partial \ln(\Gamma_\phi)}{\partial \xi} &= 0, \\ \frac{\partial \ln(\Gamma_A)}{\partial \xi} &= 3g^4 / \pi^2 + g^2 / 2\pi^2, \\ \frac{\partial \ln(M^2)}{\partial \xi} &= 2 + 3g^2 / 2\pi^2, \\ \frac{\partial \ln(\mu^2)}{\partial \xi} &= 2 + \frac{M^2 g^2}{2\mu^2 \pi^2} \approx 2, \\ \frac{\partial \ln(g^2)}{\partial \xi} &= \varepsilon - g^2 / \pi^2, \\ \frac{\partial \ln v}{\partial \xi} &= \varepsilon - g^4 / 2v\pi^2, \end{aligned}$$

ренормгруппа

$$\xi = \ln(1/\Lambda)$$

$$\frac{\partial \ln(\Gamma_\phi)}{\partial \xi} = g^4 S(\xi) / \pi^2,$$

$$S(\xi) = 1 - \Lambda^z = 1 - \exp(-z\xi),$$

$$z \approx 2$$

В окрестности критической точки T_g

$$M^2 = \alpha k_B (T - T_g) \approx e^{2\xi} \quad g^2 = \pi^2 \varepsilon \quad v = g^2 / 2$$

$$\tau_{rel} = \Gamma_\phi \propto \exp \left(\frac{g^4 T_g}{2\alpha\pi^2 (T - T_g)} \right).$$

Vogel–Tammann–Fulcher (VTF)

M.G. Vasin, J. Stat. Mech., P05009 (2011);

M.G. Vasin, N.M. Shchelkachev, and V.M. Vinokur,
Theoretical and Mathematical Physics, 163(1): 537–548
(2010);

The ergodicity breaking is taken into account in process of the renormalization group analysis of this model in terms of critical dynamics.

Results are presented in:

1. Vasin M.G., *Physica A: Statistical Mechanics and its Applications*, v.431, 18–28 (2015)
1. Vasin M.G., *Theoretical and Mathematical Physics*, 174(3): 406–420 (2013);
2. Vasin M.G., Tareyeva E.E., Shchelkacheva T.I., and Shchelkatchev N.M., *Theoretical and Mathematical Physics*, 174(2): 197–208 (2013);
3. Vasin M.G., *Journal of Physics: Conference Series* 394 (2012) 012010;
4. Vasin M.G. *J. Stat. Mech.* P05009 (2011);
5. Vasin M.G., Chelkatchev N.M., Vinokur V.M. *Theoretical and Mathematical Physics*, V.163, № 1, p.163-176 (2010);

Some results of the theory

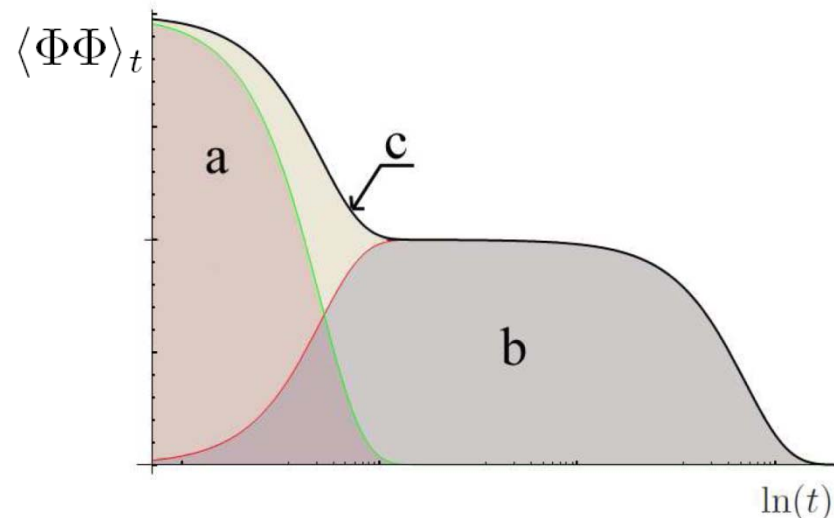
1. Vogel-Fulcher-Tamman law for temperature dependence of relaxation time

$$\tau_{rel} = \Gamma_{\phi} \propto \exp\left(\frac{2vg^2T_g}{\alpha\pi^2(T - T_g)}\right)$$

2. The observed glass transition temperature T_g^* depends on the cooling rate v .

$$T_g^*(v) = T_g + \frac{T_g C}{2 \ln x - \ln(v\tau_o/T_g)}$$

3. The plateau on the time dependence of the correlation function



Some results of the theory

4. Linear susceptibility does not diverge in T_g

$$\chi_L = \partial \langle \Phi \rangle / \partial h \propto \mu^{-2} = g^2 / 3I_0 v$$

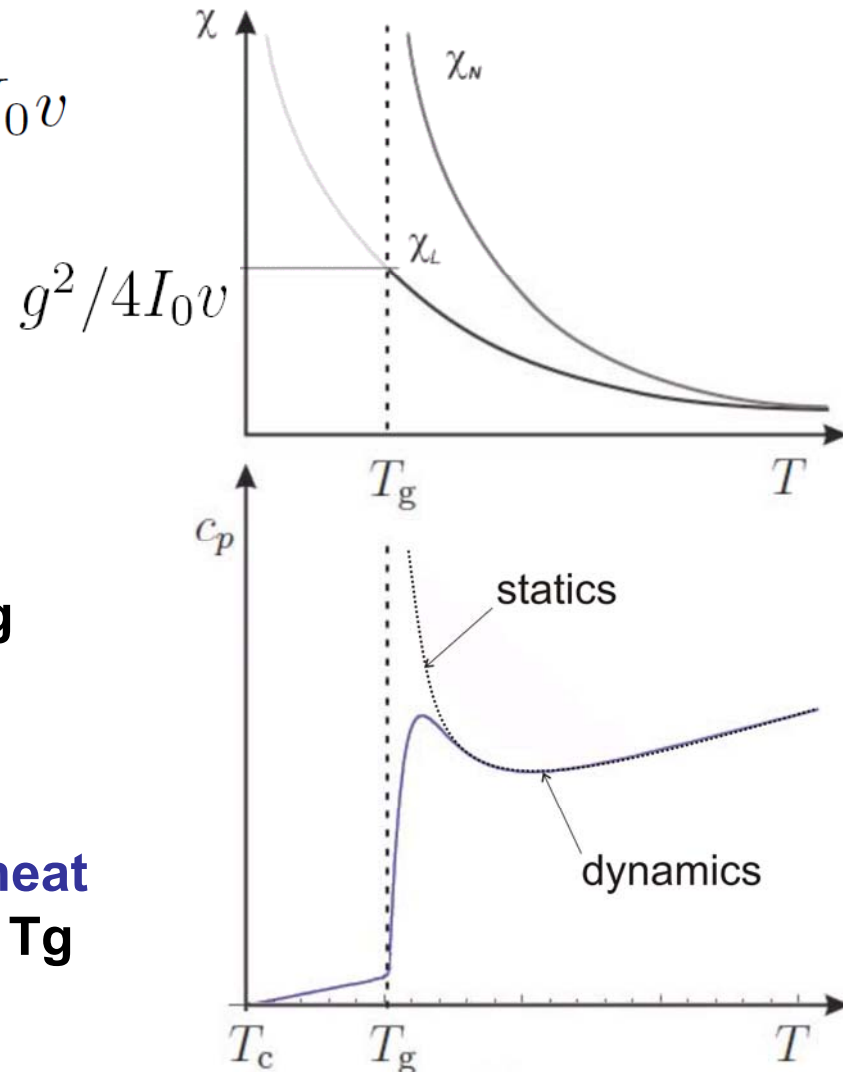
5. Non-linear susceptibility diverges in T_g

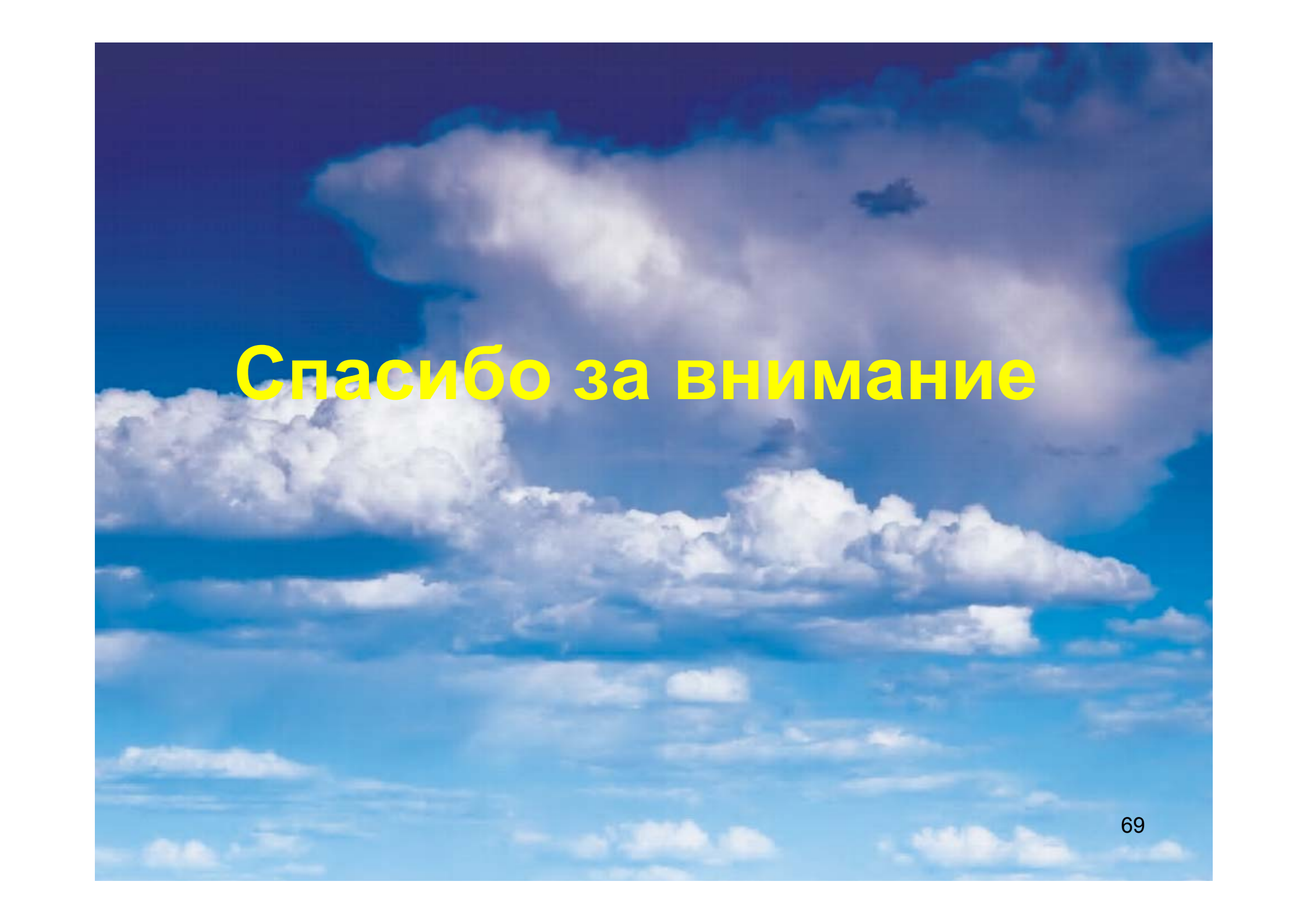
$$\chi_N = \partial^3 \langle \Phi \rangle / \partial h^3 = \langle \Phi^4 \rangle$$

6. The size of ordered regions at T_g

$$r_{cor} \sim \sqrt{g^2 / 4I_0 v}$$

7. The temperature function of the heat capacity can have a maximum near T_g





Спасибо за внимание